

## Hydrological Modeling of Running Water Process and its Impact on the Size of Sediment Basins Under Study

Ghusun Sabah Chiyad

University of Baghdad / College of Arts-

Department of Geography and GIS

[ghsun528@gmail.com](mailto:ghsun528@gmail.com)

Prof. Suhaila Najm Abd (Ph.D.)

University of Baghdad / College of Arts-

Department of Geography and GIS

[suhaila.a@coart.uobaghdad.edu.iq](mailto:suhaila.a@coart.uobaghdad.edu.iq)

Copyright (c) 2025 Ghusun Sabah Chiyad, Prof. Suhaila Najm Abd (Ph.D.)

DOI: <https://doi.org/10.31973/w58etz19>



This work is licensed under a [Creative Commons Attribution 4.0 International License](#).

### Abstract:

The study aims to know the effect of the running Water Process on the Sediment Volume of the(ALBint, ALYaraa, and ALGhariz) Through the reality of the study of the study area, it was found that these sediments date back to the Tertiary period and the deposits of the Quaternary period, since the region is part of the eastern edge of the alluvial plain, which belong to the unstable shelf, and its source is the valleys sloping from the eastern side of the Iraqi-Iranian border. Which was formed by heavy rains in the form of torrents sweeping away sand, gravel, clay, and silt. As rainstorms contribute to a large part of the erosion and sedimentation process, rainfall in the form of heavy showers and large water droplets works to break up soil units particles and form sediments, which is easily carried by water flow in the valleys and appears clearly on the slopes. As Sediments move to low-lying lands due to gravity, to estimate soil erosion and sedimentation products Gavrilovic Erosion Model (EPM) was relied upon, which he designed during the 1950s. This model is distinguished by the fact that it estimates different types of sediments. Erosion which made it a suitable model for application in different countries of Eastern Europe, Italy, Greece, Switzerland, and Iran. which are highly eroded mountainous countries. especially after the reliability of its results was tested in number of studies and compared to the results of field measurements. It was found that there was a great agreement between the results of the model with the results of field measurements, and its application depends on indicators of slope condition of vegetation cover, Soil or surface formations, rainfall, as well as temperature. This model is unique from others in including the temperature factor as an additional indicator to evaluate Water erosion in addition to field information taken from field study.

**Keywords:** Soil Erodipility index, Soil protection index, Current erosion indicator, Regression index, Heat coefficient index

# النمذجة الهيدرولوجية لعملية المياه الجارية وتأثيرها على حجم الرسوبيات لأحواض منطقة الدراسة

الباحثة غصون صباح جياد  
جامعة بغداد/ كلية الآداب  
قسم الجغرافية ونظم المعلومات الجغرافية  
أ.د. سهيلة نجم عبد  
جامعة بغداد/ كلية الآداب

(مُلْخَصُ الْبَحْث)

تهدف الدراسة معرفة تأثير عملية المياه الجارية على حجم الرسوبيات لأحواض (البنت، اليرع ، الغريز) ومن دراسة واقع منطقة الدراسة تبين أن هذه الرسوبيات تعود إلى الزمن الثلاثي وترسبات الزمن الرابع؛ لكون المنطقة جزءا من الحافة الشرقية للسهل الرسوبي والعائد للرصيف غير المستقر ، ومصدرها الأودية المنحدرة من الجهة الشرقية للحدود العراقية الإيرانية والتي تكونت بفعل الأمطار الغزيرة على شكل سيول تجرف الرمال والحسى والطين والغرين، إذ تسهم العواصف المطرية بجزء كبير من عملية الحت والأرساب، إذ إن هطول الأمطار بشكل رخات كثيفة و قطرات ماء كبيرة تعمل على تفتيت جزيئات التربة وتشكل الرواسب ، مما يسهل حملها عن طريق الجريان المائي في الأودية ، وتظهر بشكل واضح على المنحدرات، إذ تنتقل الرواسب إلى الأراضي المنخفضة بفعل الجاذبية الأرضية ولقد تم تصميمه في سنوات الخمسينيات، إذ يتميز هذا النموذج بكونه يقدر أنواعا مختلفة من التعرية التربة ونواتج الأرسابات تم الاستناد إلى نموذج جافريوفيكي للتعرية (EPM) وقام بتصميمه في سنوات الخمسينيات، إذ يتميز هذا النموذج بكونه يقدر أنواعا مختلفة من التعرية مما جعله أنموذجًا مناسباً للتطبيق في بلدان مختلفة من أوروبا الشرقية وإيطاليا والميونخ وسويسرا وإيران - وهي بلدان جبلية شديدة التضرس - ولاسيما بعد ما اخترت مصداقية نتائجه في عدد من الدراسات وقورنت بنتائج القياسات الميدانية وتبين توافق كبير بين نتائج النموذج مع نتائج القياسات الميدانية ويعتمد في تطبيقه مؤشرات عدة (الانحدار، وحالة الغطاء النباتي، والتربة أو التكوينات السطحية ، والهطولات المطرية، وكذلك الحرارة) وينفرد هذا النموذج عن غيره بإدراج عامل الحرارة كونه مؤشرا إضافيا لتقدير التعرية المائية، فضلاً عن معلومات حقلية تؤخذ من الدراسة الميدانية.

**الكلمات المفتاحية:** مؤشر قابلية التربة للتعرية، مؤشر حماية التربة، مؤشر التعرية الحالية، مؤشر الانحدار، مؤشر معامل الحرارة.

**مقدمة:**

تعد المياه الجارية من أخطر أنواع التعرية المائية وأكثرها انتشاراً؛ لأنها تغير وباستمرار معاالم سطح الأرض، إذ تؤدي دوراً مهماً في نقل الرواسب؛ لأنها تعمل على إزالة أجزاء من الطبقة العليا للتربة عن طريق الأمطار الهاطلة والجريان السطحي بقوة لنقلها من سفوح الجبال وترسبها في بطون أحواض الأودية والأراضي المنخفضة، فتعتمد التعرية المائية: غزارة الأمطار، وطول مدة هطولها، وحجم قطرات المطر، فضلاً عن تكرار العواصف المطرية وشتدتها التي تسهم في حدوث السيول التي تجرف معها الرواسب بأحجام وأشكال مختلفة، إذ إن سرعة المياه الجارية وزيادة كميتها في الأحواض ساعدت على نشاط التعرية والنحت، كما أن لدرجة الانحدار دوراً كبيراً في زيادة معدل التعرية، إذ كلما زادت درجة الانحدار نقل نسبة ترشيح المياه داخل التربة، وبذلك تزداد عملية الجريان السطحي ونقل الرواسب باتجاه منطقة الدراسة، وتنشط هذه العملية في أقصى شرق المنطقة، ومن وجهة نظر الباحثة فإن التعرية المائية هي السبب الرئيس والأثر الواضح لتجمع الرواسب، إذ إن تشكل الأمطار والمياه الجارية ينتج عنها روابس مائية في منطقة الدراسة مقارنة مع التعرية الريحية التي تكون ضعيفة محدودة.

**مشكلة البحث :**

هل تؤثر عملية التعرية المائية على حجم الرسوبيات في أحواض منطقة الدراسة.

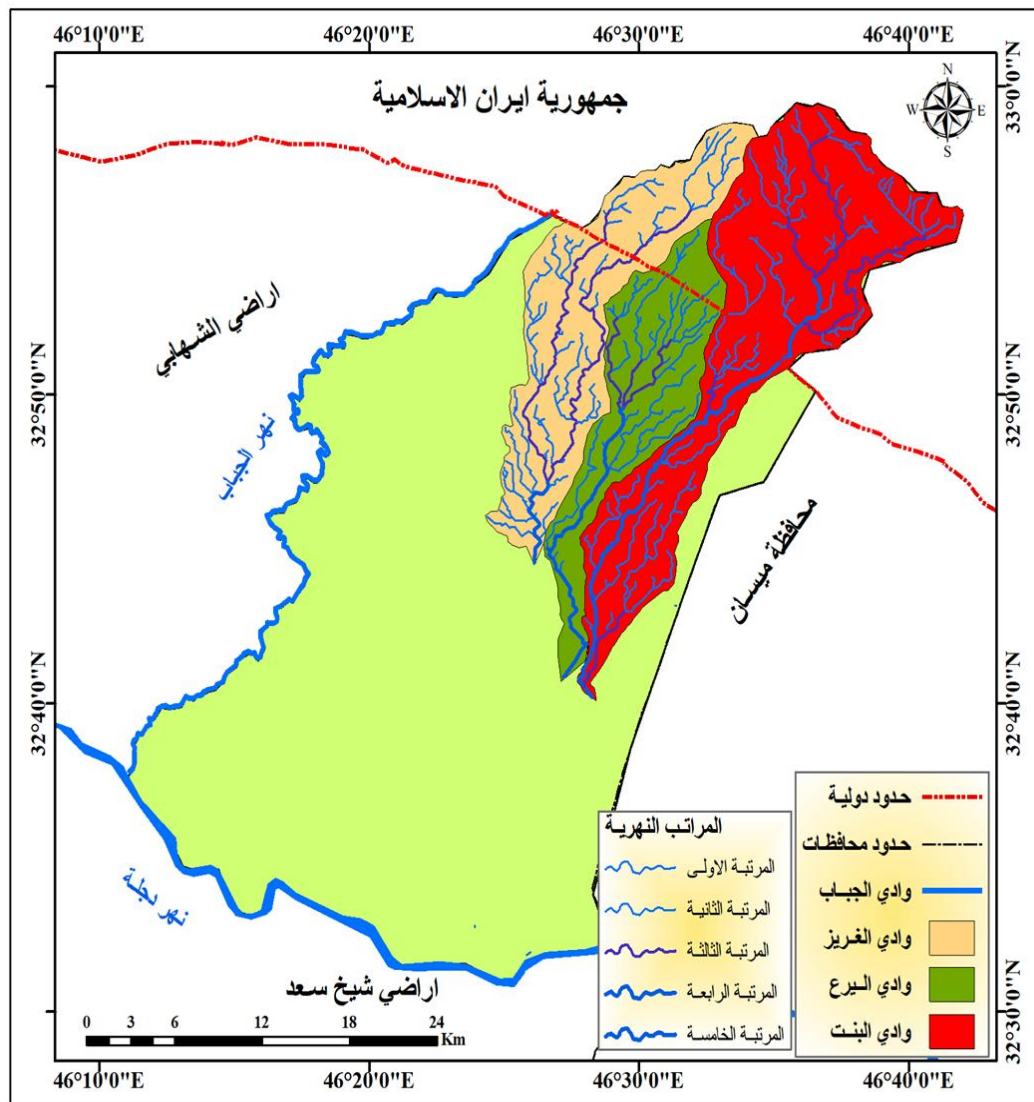
**فرضية البحث:**

إن لم تباين شدة عملية التعرية المائية دوراً في التأثير على حجم الرسوبيات في أحواض منطقة الدراسة.

**موقع منطقة الدراسة:**

تقع منطقة الدراسة فلكياً بين دائرتين عرض (°09<sup>0</sup>, °32<sup>0</sup>, °33<sup>0</sup>, °35<sup>0</sup>, °58<sup>0</sup>) - (°11<sup>0</sup>, °17<sup>0</sup>, °41<sup>0</sup>, °46<sup>0</sup>, °51<sup>0</sup>) شرقاً وتم اعتماد المدة المناخية من (١٩٩٤ - ٢٠٢٢) ومحطات على الغربي وبدرة والكوت وايلام. كما هو موضح في خريطة (١)

## خريطة (١) الموقـع الفلكـي لمنـطقة الـدراسة



المصدر: استناداً إلى الهيئة العامة للمساحة، خريطة ذات مقياس ١:٢٥٠٠٠، لعام ١٩٩٦. وأنموذج الارتفاع الرقمي DEM وبرنامج Arc map GIS V 10.8

### أولاً: عملية المياه الجارية :

تؤدي المياه الجارية دوراً مهماً في نقل الرواسب، إذ تعمل التعرية المائية على إزالة أجزاء من الطبقة العليا للترابة عن طريق الأمطار الهاطلة والجريان السطحي بقوة لتنقلها من سفوح الجبال وترسبها في بطون الأودية والأراضي المنخفضة، إذ تعتمد التعرية المائية غزارة الأمطار، وطول مدة هطولها، وحجم قطرات المطر، فضلاً عن تكرار العواصف المطرية وشدةتها التي تسهم في حدوث السيول التي تجرف معها الرواسب بأحجام وأشكال مختلفة. ومن وجهة نظر الباحثة فإن التعرية المائية هي السبب الرئيس والأثر الواضح لجتماع الرواسب، إذ إن تشكل الأمطار والمياه الجارية ينتج عنها رواسب مائية في منطقة الدراسة مقارنة مع التعرية الريحية التي تكون ضعيفة محدودة وللمياه الجارية أنواع عده تشمل الآتي:

#### ١- التعرية التصادمية :

تعد الأمطار السبب الرئيس للتعرية المائية في أي منطقة ، إذ تسهم العواصف المطرية بجزء كبير من عملية النحت والإرساء، إذ إن هطول الأمطار بشكل زخات كثيفة وقطرات ماء كبيرة تعمل على تفتيت جزيئات التربة وتشكل الرواسب ، مما يسهل نقلها وحملها عن طريق الجريان المائي في الأودية، وتظهر بشكل واضح على المنحدرات، إذ تتنقل الرواسب إلى الأرضي المنخفضة بفعل الحاذبية الأرضية، ويسود هذا النوع من التعرية في أقصى شمال شرق منطقة الدراسة. وتم اعتماد معادلة فورنيه - أرنولدس في حساب شدة التعرية التصادمية كمياً على وفق المعادلة الآتية( Fournier, 1960,p.20)

$$AFI = \sum (PI)^2 / P$$

إذ إن :

**AFI** : القدرة التحتية للمطر  $(PI)^2$  : كمية الأمطار السنوية(ملم) ولمقارنة النتائج مع المعادلة لمعرفة شدة التعرية فقد وضع فورنيه محددات تتكون من أربع درجات تمثل بالجدول الآتي:

جدول (١) درجات شدة التعرية المطرية بحسب مؤشر فورنيه

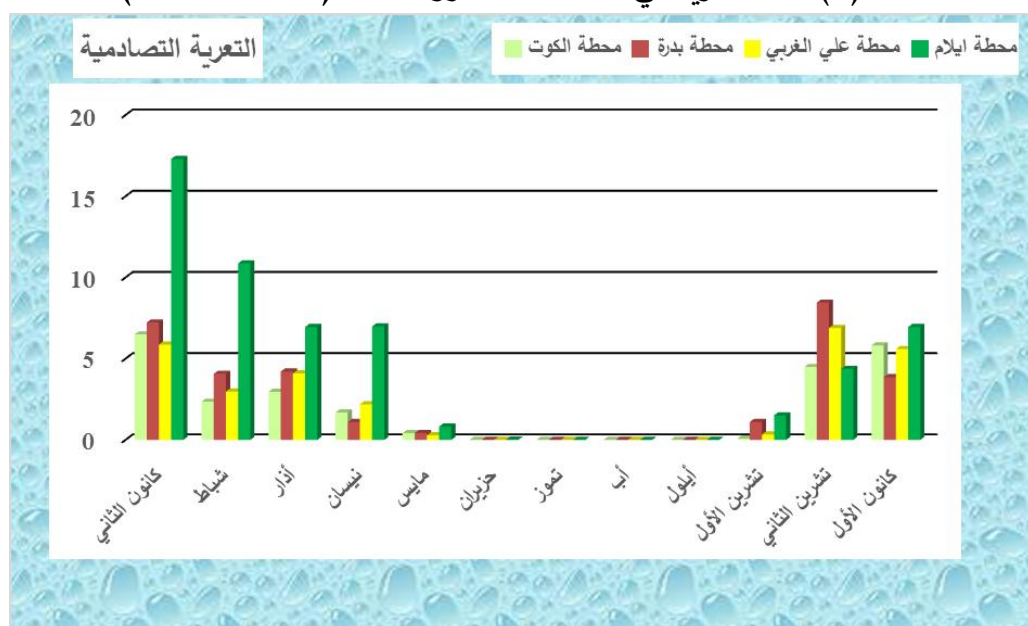
الدرجة	شدة التعرية
أقل من ٥٠	ضعيف
٥٠ - ٥٠٠	معتدل
٥٠٠ - ١٠٠٠	متوسط
أكثر من ١٠٠٠	عالي

Fournier,F.1960, Climate Erosion, La relation entre le resion du sol parieau et lesperception, atmosphères,Pairs,P201

من تحليل نتائج المعادلة بحسب مؤشر فورنيه ومقارنتها بجدول (١) فإن محطة إيلام تقع ضمن التعرية المطرية المعتدلة، إذ بلغت (٥٥.٨٦٪) تعد هذه المنطقة من الأماكن التي تنشط بها هذا النوع من التعرية مما يساعد على نشاط عملية النحت نتيجة لارتفاع كمية الأمطار، ودرجة انحدار الأودية مما ينتج عنها سيول قوية ذات حمولة كبيرة من الرواسب لتنقلها وترسيبها في الأراضي المنخفضة في حين سجلت محطات كل من الكوت، وبدرة، وعلى الغربي ضمن التعرية المطرية الضعيفة، إذ بلغت (٣٠.٤٤ - ٢٨.٤٩٪) على التوالي.

ويعد سبب ذلك لأنساط المنطقة وقلة الأمطار، أما من تحليل نتائج أشهر السنة فقد سجلت التعرية المطرية شدتها في محطة إيلام والكوت في شهر كانون الثاني، إذ بلغت (١٧.٣٠ - ١٧.٤٩٪) على التوالي في حين سجلت محطة علي الغربي وبدرة في شهر تشرين الثاني (٦.٨٩ - ٨.٤٥٪) على التوالي ويعد سبب ذلك للعواصف المطرية الغزيرة التي تشهدها منطقة الدراسة، مما يساعد على نشاط سيول جارفة معها الرواسب ذات الأشكال والأحجام المختلفة وترسيبها مكونة الدالات المرورية. كما هو موضح في جدول (٢) وشكل (١).

شكل (١) شدة التعرية في المحطات المدروسة للمدة (١٩٩٤-٢٠٢٢)



المصدر: استناداً إلى جدول (٣) و(٤) وبرنامج الأكسل

جدول (٢) المعدل الشهري والمجموع السنوي للأمطار (ملم) في المحطات المدروسة للمدة (1994-2022)

المجموع السنوي	اب	تموز	حزيران	مايس	نيسان	اذار	شباط	كانون الثاني	كانون الأول	تشرين ثاني	تشرين اول	ايلول	الشهر المحطة
158.33	0.00	0.00	0.00	8.11	16.34	21.66	19.28	32.08	30.38	26.69	3.73	0.06	الكوت
209.64	0.00	0.0	0.27	9.43	15.21	29.71	29.20	38.92	28.46	42.09	15.18	1.17	بدرة
190.0	0.0	0.0	0.1	7.4	20.4	27.9	23.8	33.4	32.6	36.2	8.0	0.2	علي الغربي
398.1	1.9	1.1	3	18.1	52.7	52.6	65.5	83	52.6	41.7	24.5	1.4	ايلام

المصدر: استناداً إلى وزارة النقل، الهيئة العامة للأنواء الجوية والرصد الزلالي، قسم المناخ ، بيانات (غيرمنشورة)، ٢٠٢٢، وأعتماداً على الموقع الإلكتروني لمحطة (https://power.larc.nasa.gov/data) والموقع الإلكتروني لمحطة إيلام (https://en.tutiempo.net)

## جدول (٣)

شدة التعريّة بحسب مؤشر فورنيه لمحيط الكوت وبدرة المدة (1994-2022)

بدرة			الكوت			الأشهر
مؤشر فورنيه	P <sup>2</sup>	P	مؤشر فورنيه	P <sup>2</sup>	P	
7.23	1514.77	38.92	6.49	1029.13	32.38	كانون الثاني
4.07	852.64	29.2	2.35	371.72	19.28	شباط
4.21	882.68	29.71	2.96	469.16	21.66	اذار
1.10	231.34	15.21	1.69	266.99	16.34	نيسان
0.42	88.92	9.43	0.42	65.77	8.11	مايس
0	0.07	0.27	0	0	0	حزيران
0	0	0	0	0	0	تموز
0	0	0	0	0	0	آب
0	1.37	1.17	0	0	0.06	أيلول
1.1	230.43	15.18	0.088	13.91	3.73	تشرين الأول
8.45	1771.57	42.09	4.49	712.36	26.69	تشرين الثاني
3.86	809.97	18.46	5.82	922.64	30.38	كانون الأول
30.44	290.64		18.49	158.33		المجموع

المصدر: أستناداً إلى جدول (٢) ومعادلة فورنيه وبرنامج Word

## (٤) جدول

شدة التعرية بحسب مؤشر فورنزيه لمحيطى على الغربي وإيلام للمدة (1994-2022)

إيلام			على الغربي			الأشهر
مؤشر فورنزيه	P2	P	مؤشر فورنزيه	P2	P	
17.30	6889	83	5.87	1115.56	33.4	كانون الثاني
10.87	4290.25	65.5	2.98	566.44	23.8	شباط
6.95	2766.76	52.6	4.1	778.41	27.9	أذار
6.98	2777.29	52.7	2.19	416.16	20.4	نيسان
0.82	327.61	18.1	0.29	54.76	7.4	مايس
0.02	9	3	0	0	0.1	حزيران
0	1.21	1.1	0	0	0	تموز
0	3.61	1.9	0	0	0	آب
0	1.96	1.4	0	0.04	0.2	أيلول
1.51	600.25	24.5	0.33	64	8	تشرين الأول
4.37	1738.89	41.7	6.89	1310.44	36.2	تشرين الثاني
6.95	2766.76	52.6	5.59	1062.76	32.6	كانون الأول
55.86	398.1	28.24		190		المجموع

المصدر: استناداً إلى جدول (٩) ومعادلة فورنزيه وبرنامج Word

## ٢- التعريّة الصفائيّة :

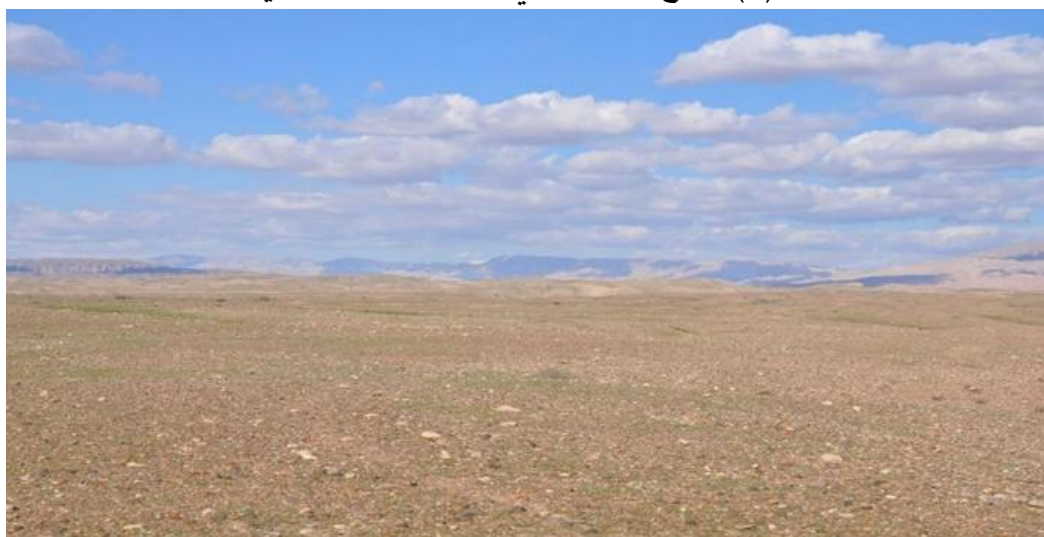
يسود هذا النوع من التعريّة في أغلب أراضي منطقة الدراسة والتي تتمثل بأقدام السفوح، إذ تمتاز بالانحدار البسيط فهي إحدى نتاجات التعريّة المطرية فتجمّع المياه فوق هذه الأرضي مكونة السيول التي تشكّل طبقة متماثلة السمك، وتجري بشكل صفائحي بعد تشعّب التربة بالمياه، إذ تكون الأمطار الهاطلة تفوق ما تسرب منها إلى التربة ناقلة معها الرواسب إلى المناطق المنخفضة والتي تتمثل بالداللات المروحية، وتكون مناطق جيدة لنمو النباتات. كما هو موضح في صورة (١) و(٢).

صورة (١) التعريّة الغطائنيّة في منطقة الدراسة



المصدر: الدراسة الميدانية بتاريخ ٢٠٢٣/٢/٣

صورة (٢) تجمع الرواسب في الدالة المروحية لوادي البت



المصدر: الدراسة الميدانية بتاريخ ٢٠٢٣/٢/٣

### ٣- التعرية المائية:

تعد هذه التعرية مكملة لنتائج التعرية الصفائحية وتنشط مع زيادة كمية الهطول المطري، إذ يزداد الجريان، ويشكل مسارات متوازية ذات مجاري بدائية صغيرة وضيقة على جوانب الأودية وفي المرتبة الأولى والثانية ضمن أودية منطقة الدراسة مما تزيد من قدرة المياه على التعرية ونقل الرواسب. كما هو موضح في صورة (٣).

صورة (٣) مسارات مائية في منطقة الدراسة



المصدر: الدراسة الميدانية بتاريخ ٢٠٢٤ /٤ /١٩

### ٤- التعرية الجدولية:

تشاً التعرية الجدولية نتيجة اندماج المسارات المائية مع بعضها مكونة مجاري مائية على سفوح المنحدرات ونتيجة لسرعة الجريان المائي وقوته التي تعد عاملًا فاعلاً في زيادة الحت ونقل الرواسب ولا سيما الجلاميد والحسى وتفتيتها عن طريق احتكاك صخور القاع مع جوانب الأودية الحادة التي تتأثر بالسيول التي تتشاً في العاصفة المطرية جارفة الرواسب من المناطق المرتفعة وتتجمع في الأرضي المنخفضة في منطقة الدراسة ولحساب التعرية الجدولية وقياس شدتها فقد اعتمدت معادلة (Bergsma ١٩٨٣) وهي على النحو الآتي:

$$\text{الآتي: } (16 \text{ Bergsma, 1983, p})$$

$$AE = \sum L/A$$

إذ إن :  $AE$ : مجموع أطوال الجداول ضمن  $\sum^2$  وحدة المساحة (م)  
وحدة المساحة (م)

$A$ : مساحة المربع الواحد (كم<sup>2</sup>)

ومن تحليل نتائج المعادلة ومقارنتها بجدول (٥) تبيّن شدة التعرية في منطقة الدراسة نتيجة تنوّع التكوينات الجيولوجية، ومدى مقاومتها لعملية التعرية المائية وتتوّع درجة الانحدار من شديد جداً إلى خفيف الانحدار وقلة الغطاء النباتي مما ساعد على قوة اندفاع المياه الجارية، وتحطيمها للصخور، وزيادة كمية الرواسب المنقولة إلى منطقة الدراسة وصنفت على النحو الآتي:

- نطاق التعرية الخفيفة : شغلت مساحة (٢٤١.٨ كم<sup>٢</sup>) وبنسبة (٢٠.٢ %) من المساحة الكلية لمنطقة الدراسة وتمثلت في ثلاثة مواقع وبلغ أطوال مجاريها (٤٩٠.٤ م) أما معدل التعرية فبلغ (٤٨ م/كم<sup>٢</sup>)، وشغلت غرب منطقة الدراسة ذات الانحدار الخفيف، كما شغلت مساحة (٢٢١.٥ كم<sup>٢</sup>) وبنسبة (١٨.٥ %) من المساحة الكلية لمنطقة الدراسة وتمثلت بستة مواقع وبلغت أطوال مجاريها (٦٥٩٠ م) أما معدل التعرية فبلغ (٦٤٩ م/كم<sup>٢</sup>) وشغلت المنطقة القريبة من غرب الدراسة التي تمثل منطقة مصب الأودية ذات الانحدار الخفيف.
- نطاق التعرية المتوسطة: شغلت مساحة (١٨٠.٨ كم<sup>٢</sup>) وبنسبة (١٥.١ %) من المساحة الكلية لمنطقة الدراسة وتمثلت في ستة مواقع وبلغ أطوال مجاريها (٦٥٢٢٢ م) أما معدل التعرية فبلغ (٣٢٢ م/كم<sup>٢</sup>) كما شغلت مساحة (٢٧٧.٢ م/كم<sup>٢</sup>) وبنسبة (١٤.٨ %) وتمثلت بتسعة مواقع، وبلغت أطوال مجاريها (٥٦٤٢ م) وبلغ معدل التعرية (٦٨٣ م/كم<sup>٢</sup>) وشغلت وسط منطقة الدراسة التي تمثل منطقة الدالات المرهوبة.
- نطاق التعرية العالية: شغلت مساحة (٤٠٥.٤ كم<sup>٢</sup>) وبنسبة (١٢.٩ %) من المساحة الكلية لمنطقة الدراسة وتمثلت في (٦١) موقعًا وبلغت أطوال مجاريها (٧٤٥٣ م) أما معدل التعرية فبلغ (١١٣٢ م/كم<sup>٢</sup>) وشغلت الشريط الحدودي شرق منطقة الدراسة والتي تمثل إقدام التلال ذات الانحدار الشديد.
- نطاق التعرية الشديدة: شغلت مساحة (٢٠٢.١ كم<sup>٢</sup>) وبنسبة (١٠.٢ %) من المساحة الكلية لمنطقة الدراسة وتمثلت في (٢٧) موقعًا وبلغت أطوال مجاريها (٤٦٤٤ م) أما معدل التعرية فبلغ (٦٢٧٣ م/كم<sup>٢</sup>) وشغلت شمال شرق منطقة الدراسة ذات الانحدار الشديد.
- نطاق التعرية الشديدة جداً: شغلت مساحة (٤٩٩.٤ كم<sup>٢</sup>) وبنسبة (٨.٣ %) من المساحة الكلية لمنطقة الدراسة وتمثلت في (٣٤) موقعًا وبلغت أطوال مجاريها (٤٦٤٨ م) أما معدل التعرية فبلغ (٨٩٨ م/كم<sup>٢</sup>) وشغلت أقصى شرق منطقة الدراسة وتمثلت بمنطقة منابع الأودية ذات الانحدار الشديد جداً. كما هو موضح في صورة (٤) وجدول (٦) وشكل (٢).

## جدول (٥) مؤشرات (Bergsma) للتعرية الجدولية في منطقة الدراسة

الوصف	درجة التعرية
تعرية خفيفة جداً	<b>١-٤٠٠</b>
تعرية خفيفة	<b>٤٠١ - ١٠٠٠</b>
تعرية متوسطة	<b>١٠٠١ - ١٥٠٠</b>
تعرية عالية	<b>١٥٠١ - ٢٧٠٠</b>
تعرية عالية جداً	<b>٢٧٠١- ٣٧٠٠</b>
تعرية شديدة	<b>٣٧٠١ - ٤٧٠٠</b>
تعرية شديدة جداً	<b>٤٧٠٠ - فأكثر</b>

Eelko.Bergsma,1983,Rain FallErosion,Servers for Conservition Planning,Itc,Nether Journal,VOI-2,p16.

## صورة (٤) التعرية الجدولية في منطقة الدراسة



المصدر: الدراسة الميدانية بتاريخ ٢٣/٢/٣

**جدول (٦) معدلات التعرية الجدولية ودرجاتها في منطقة الدراسة وفقاً لمعادلة Bergsma**

وصف شدة التعرية	درجة التعرية	معدل التعرية (م <sup>2</sup> كم <sup>2</sup> )	اطوال المجاري المائية (م)	النسبة المئوية %	مجموع المساحة (كم <sup>2</sup> )	عدد المواقع
تعرية خفيفة	1	548	132549.4	20.2	241.8	3
تعرية خفيفة	2	946	209567	18.5	221.5	6
تعرية متوسطة	3	1232	222659	15.1	180.8	6
تعرية متسططة	4	1386	245657	14.8	177.2	9
تعرية عالية	5	2311	356874	12.9	154.4	16
تعرية شديدة	6	3762	459446	10.2	122.1	27
تعرية شديدة جداً	7	8098	804649	8.3	99.4	34
<b>المعدل</b>				<b>المجموع</b>		
2612		243140 1	100	1197.2	101	

المصدر: استناداً إلى معادلة (Bergsema) وخربيطة (٢) و(٣)

**شكل (٢) التعرية الجدولية لأحواض منطقة الدراسة**



المصدر: استناداً إلى جدول (٦) وبرنامج الأكسل

**ثالثاً - أنموذج جافريوفيكي لقياس حجم التعرية المائية في منطقة الدراسة:**

طورت العديد من النماذج لتقدير كمية الإيراد الرسوبي، وتحديد شدة التعرية ولعل أهمها ما يسمى بأنموذج جافريوفيكي للتعرية (EPM) وقد قام بتصميمه في سنوات الخمسينيات بالتعاون مع معهد تطوير موارد المياه في يوغسلافيا وشهد هذا الأنماذج في عام ١٩٨٥ قفزة نوعية في تطوره على يد مجموعة من الباحثين بعد التطور الكبير الذي حصل في الثورة المعلوماتية، فضلاً عن التطور الكبير الذي حصل في مجال برمجيات نظم المعلومات الجغرافية والاستشعار عن بعد، ويمتاز هذا الأنماذج بكونه يقدر أنواع مختلفة من التعرية مما جعله نموذج مناسب للتطبيق في بلدان مختلفة من أوروبا الشرقية، وإيطاليا، واليونان، وسويسرا، وإيران - وهي بلدان جبلية شديدة التضرس ولاسيما بعد ما اخترت مصداقية نتائجه في عدد من الدراسات، وقورنت بنتائج القياسات الميدانية، وتبيّن توافق توازن كبير بين نتائج النموذج مع نتائج القياسات الميدانية، ويعتمد في تطبيقه مؤشرات عده (الانحدار، وحالة الغطاء النباتي، والتربة أو التكوينات السطحية، والهطولات المطرية، وكذلك الحرارة) وينفرد هذا النموذج عن غيره بإدراج عامل الحرارة بوصفه مؤشراً إضافياً لتقدير التعرية المائية، فضلاً عن معلومات حقلية تؤخذ من الدراسة الميدانية ويطبق هذا الأنماذج على وفق سلسلة من المعادلات وهي على النحو الآتي (شعوان وأخرون، ٢٠١٣، ص ٧٦). كما هو موضح في شكل (٣) إذ إن:

$$( W = T * H * \pi * \sqrt{Z^3} )$$

**W :** المعدل السنوي للتعرية ( $m^3 / km^2$  السنة). **T :** معامل الحرارة ويستخرج من المعادلة الآتية:

$$T = \sqrt{\frac{c}{10}} + 0.1 \quad \text{إذ إن}$$

**C :** المعدل السنوي لدرجة الحرارة (ملم)

**H :** المعدل السنوي للأمطار (ملم)

**$\pi$  :** معامل ثابت يساوي (٣.١٤١٥).

**z :** معامل التعرية المحتملة ويحسب هذا المعامل من خلال المعادلة الآتية:

$$\times Xa \times (\phi + \sqrt{Ja})$$

إذ إن :

$$Z = Y * Xa * (\phi + \sqrt{Ja}) \quad ($$

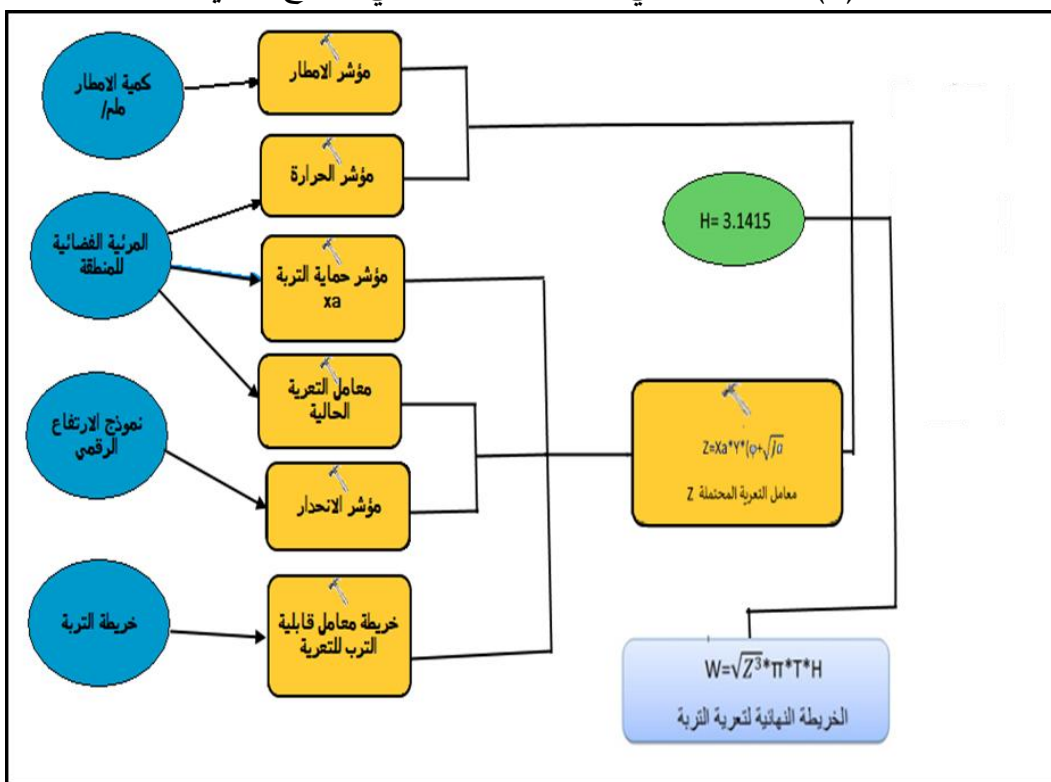
**Y :** معامل قابلية التربة للتعرية.

. : معامل تطور التعرية وشبكة التصريف

**Xa :** معامل حماية التربة

Ja : معدل الانحدار (%) .

شكل (٣) مخطط انسيابي يبين مراحل العمل في نموذج جافريلوفيك



المصدر: استناداً إلى نموذج جافريلوفيك

#### ١ - نبذة المؤشرات المستعملة في نموذج جافريلوفيك:

##### ١-١ - نبذة مؤشر قابلية التربة للتعرية (٢) :

لاستخراج مؤشر قابلية التربة للتعرية المائية تم اعتماد الخريطة الجيولوجية للمنطقة، والتي توضح التكوينات الجيولوجية واستناداً إلى درجة صلابة الصخور ونسجتها واعتماد القمر الصناعي كيوك بيرد ذو دقة (٣٠ م)

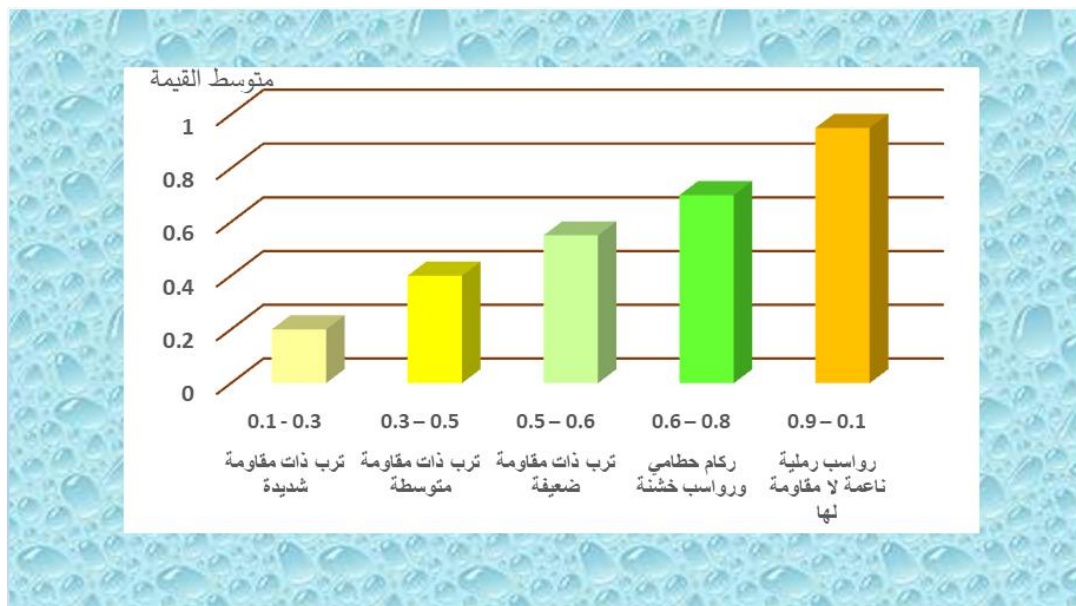
نجد أن درجة مقاومة الصخور للتعرية المائية تباينت، إذ تركزت الترب ذات المقاومة المتوسطة في أقصى شرق منطقة الدراسة، إذ تراوحت قيمها بين (٠.٣ - ٠.٥) وتمثلت بتكونين باي حسن والمقدادية في حين تركزت الترب ضعيفة المقاومة في معظم منطقة الدراسة تراوحت قيمها بين (٠.٥ - ٠.٦) وتمثلت بالحصى بمختلف أحجامه والرمل والطين. كما هو موضح في جدول (٧) وشكل (٤)(خرائط (٢)

**جدول (٧) معامل قابلية التربة أو الصخور للتعرية**

متوسط القيمة	قيمة معامل $y$	معامل قابلية التربة للتعرية
0.2	0.1 - 0.3	صخور ذات مقاومة شديدة
0.4	0.3 - 0.5	صخور ذات مقاومة متوسطة
0.55	0.5 - 0.6	صخور ذات مقاومة ضعيفة
0.7	0.6 - 0.8	ركام صخري ورواسب خشنة
0.95	0.9 - 0.1	رواسب رملية ناعمة لا مقاومة لها

Zoren,M and Komac,B,(2005),Soil erosion on agricultural land in Slovenia measurements of rill erosion in the besnica valley.Acta geographic slovenica 45-1,Ljubljana.

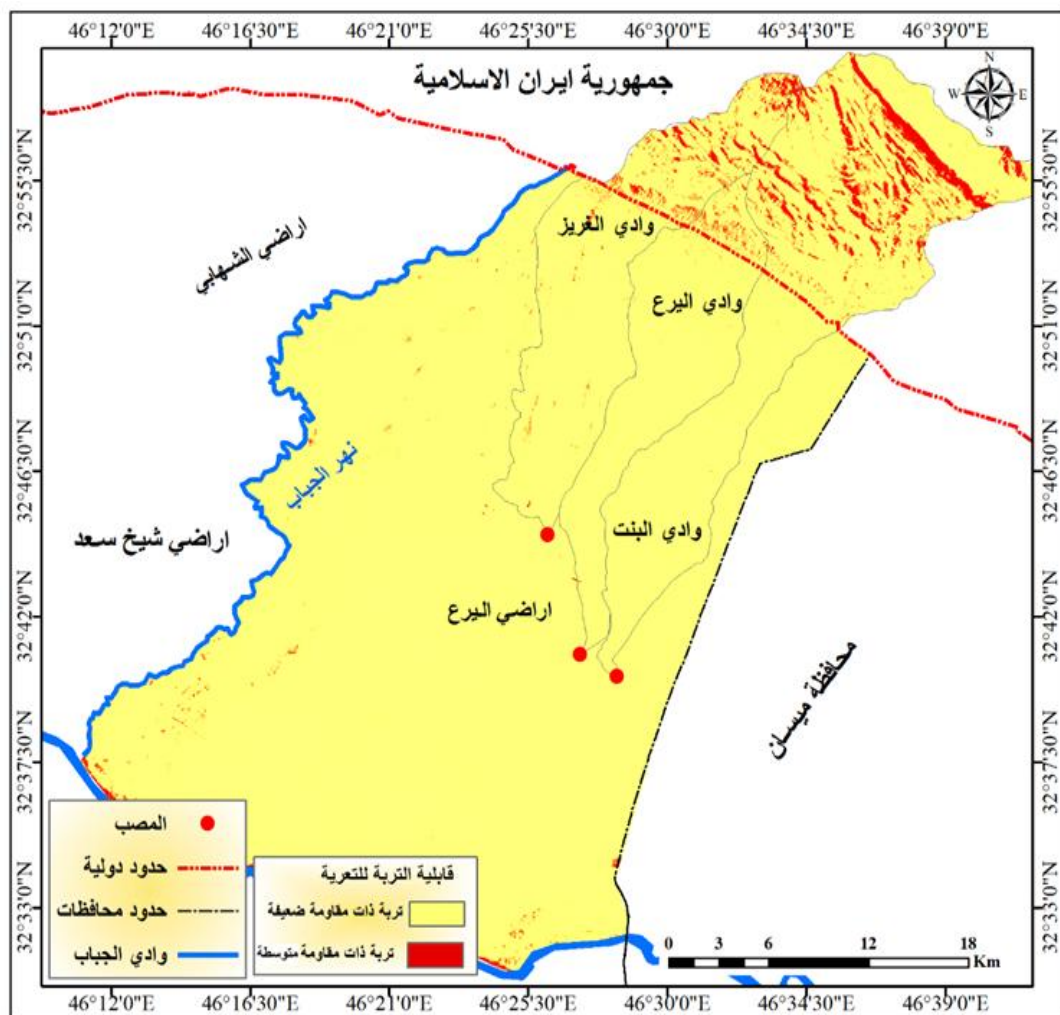
**شكل (٤) قابلية التربة للتعرية**



المصدر: استناداً إلى جدول (٧) وبرنامج الأكسل

## (٢) خريطة

## نمذجة قابلية التربة للتعرية لمنطقة الدراسة



المصدر: استناداً إلى خريطة تربة العراق تصنیف بيورنک والطائي وبرنامج Arc map GIS v10.8

## ١-٢ - نمذجة مؤشر حماية التربة (Xa) :

يتمثل هذا المؤشر في أنموذج جافريلوفيك بالغطاءات الأرضية النباتية أيًّا كان منشأها، ويستند إلى مستويات كثافة الغطاء النباتي التي تعمل على استقرار التربة وإبطاء معدلات الجريان السطحي وزيادة تسرب المياه إلى داخل التربة والحد من تأكل التربة و يؤدي الغطاء النباتي دوراً مهماً في الحد من شدة التعرية وحماية التربة عن طريق اعتراض أغصان الأشجار، والحد من قدرتها على اقتلاع جذور التربة وتدمرها؛ لذا وضع جافريلوفيك معايير لتحديد قيم مؤشر حماية التربة (العامدي، ٢٠٠٩، ص ٢٨). كما هو موضح في جدول (٨).

## (Xa) جدول (٨) معامل حماية التربة

متوسط القيمة	Xa قيمة معامل	معامل حماية التربة
<b>1.125</b>	<b>0.05 - 0.2</b>	غابات مختلطة كثيفة - متوسطة الكثافة
<b>0.3</b>	<b>0.2 - 0.4</b>	غابات صنوبرية او نباتات مبعثرة على جوانب القنوات المائية
<b>0.5</b>	<b>0.4 - 0.6</b>	مراعي وغابات متضررة
<b>0.7</b>	<b>0.6 - 0.8</b>	مراعي ومزارع متضررة
<b>0.9</b>	<b>0.8 - 1.0</b>	اراضي جرداء

Amer Zeghmar", Nadir Marouf", Elhadj Mokhtari ,,(2021) Assessment of soil erosion using the GIS-based erosion potential method in the Kebir Rhumel Watershed, Northeast Algeria ,JOURNAL OF WATER AND LAND DEVELOPMENT, p138.

وعن طريق مرئية القمر الصناعي (Landsat-8) تم استخلاص قيم معامل كثافة الغطاء النباتي (NDVI) بعد أن تم تصنیف منطقة الدراسة الى ثلاثة أصناف بعد ذلك تم عمل مواءمة نتائجها المعايير التي وضعها جافيلوفيك ولاستخراج قيم هذا المؤشر فقد تم اعتماد المعادلة الآتية(Zeghmar,2021,p138):

$$X_a = NDVI - 0.61 * (-1.25)$$

إذ إن :

**Xa:** مؤشر حماية التربة .

**XaNDVI:** معامل التغطية النباتية المعدل لمواءمة معايير مؤشر حماية التربة .

إن مؤشر حماية التربة(Xa) يرتفع في المناطق ذات الكثافة النباتية العالية والتي تتراوح قيمها بين (٠.٠٥ - ٠.٢) ، وتقل في المناطق ذات الكثافة النباتية المنخفضة والتي تتراوح قيمها بين (٠.٨ - ١.٠) فإذا فإن مؤشر حماية التربة في منطقة الدراسة متباينة، إذ بلغت فيه مساحة المناطق التي تكون ذات حماية شديدة جداً (١٢٥.٧ كم<sup>٢</sup>) وبنسبة (١٠.٥%) من جملة مساحة منطقة الدراسة وتمثلت بالأجزاء الشرقية لمنطقة الدراسة ، في حين كانت مساحة المناطق ذات الحماية الضعيفة جداً (٥٠٦.٤ كم<sup>٢</sup>) وبنسبة (٤٢.٣%) في حين بلغت المساحة في المناطق الشديدة والمتوسطة والضعيفة (٩٨.٢ - ١٨٩.٢ - ٢٧٧.٨ كم<sup>٢</sup>) وبنسبة (٨.٢ - ١٥.٨ - ٢٣.٢ %) على التوالي، وهذه تمثلت في أغلب منطقة الدراسة، وتمثل أقدام السفوح والدلالات المروحيّة، وهذا يبيّن أهمية الغطاء النباتي واستعمالات الأرض في

حماية التربة من التعرية والانجراف. كما هو موضح في جدول (٩) وشكل (٥) خريطة (٣) والصورة الجوية (٥) و(٦)

جدول (١٠) الغطاء النباتي في المنطقة

%	المساحة/ $\text{كم}^2$	نوع الغطاء النباتي
46.8	560.3	اراضٍ جرداً
32.7	391.5	اراضٍ متوسطة الانبات
20.5	245.4	اراضٍ كثيفة الانبات
100	1197.2	المجموع

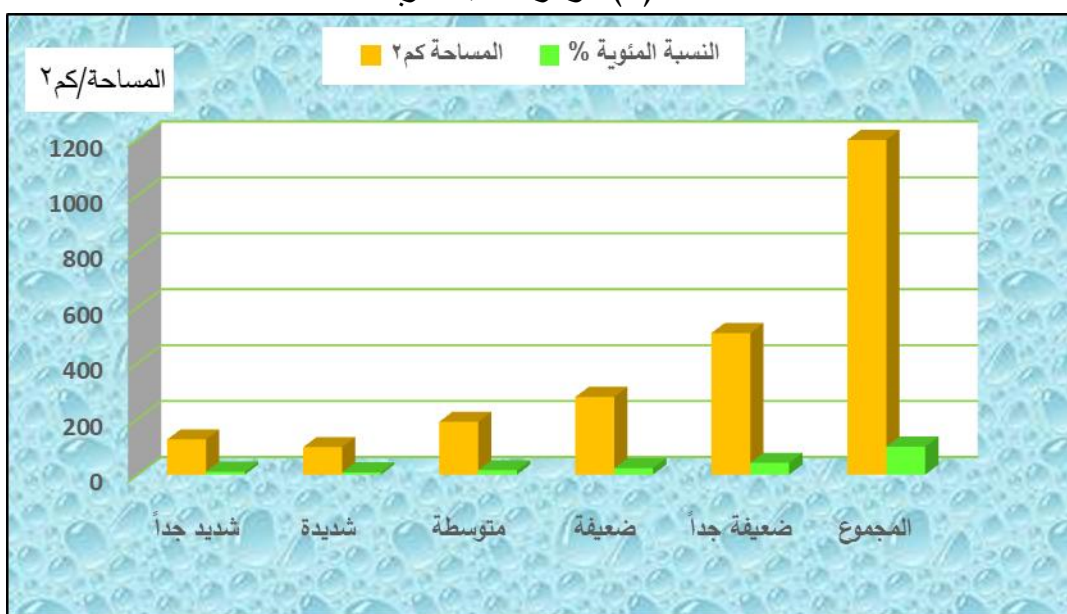
المصدر: استناداً إلى المرئية الفضائية Landsat 8 بتاريخ 1/12/2022

جدول (٩) صنف معامل حماية التربة (Xa) ومساحته ونسبة المئوية في منطقة الدراسة

معامل حماية التربة	المساحة $\text{كم}^2$	النسبة المئوية %
شديد جداً	125.7	10.5
شديدة	98.2	8.2
متوسطة	189.2	15.8
ضعيفة	277.8	23.2
ضعيفة جداً	506.4	42.3
المجموع	1197.2	100

المصدر: استناداً إلى خريطة (٥).

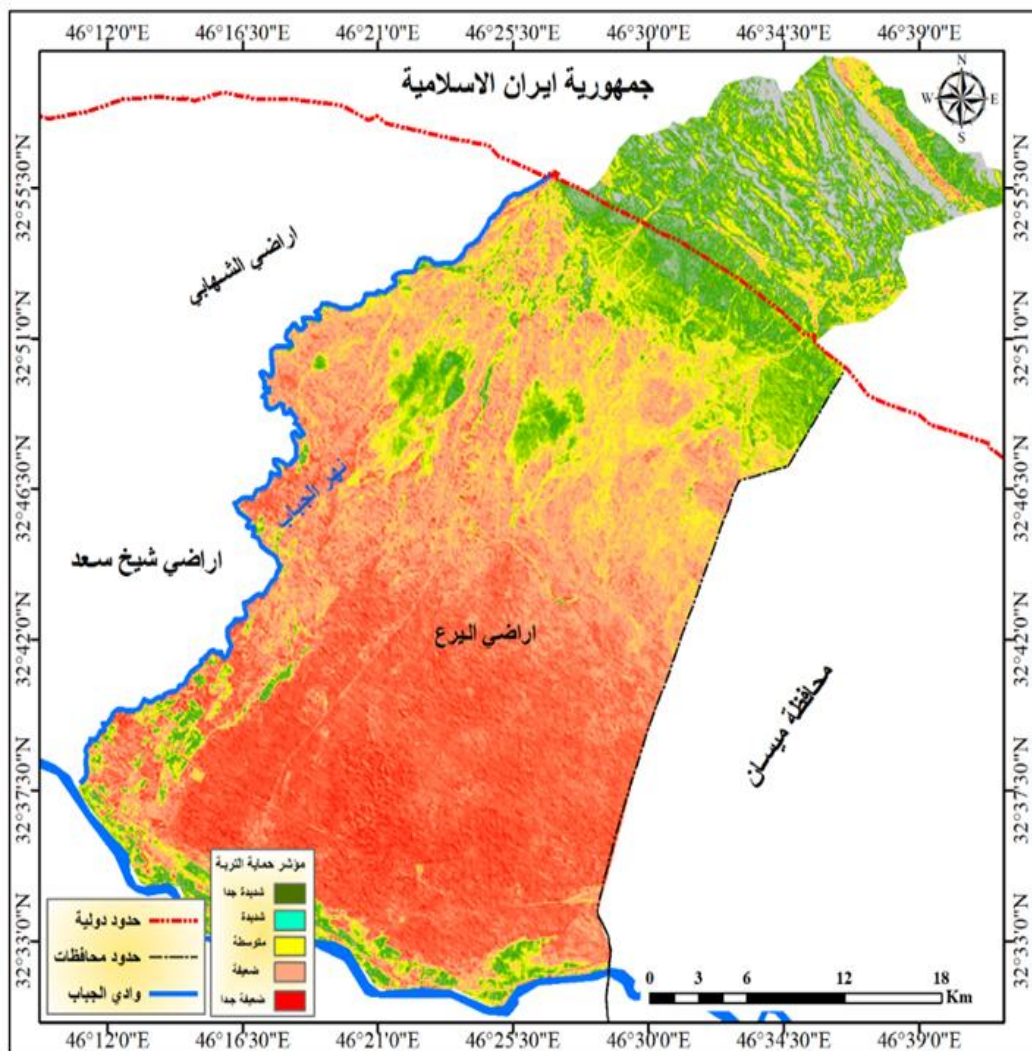
شكل (٥) مؤشر حماية التربة



المصدر: استناداً إلى جدول (٩) وبرنامج الأكسل

## (٣) خريطة

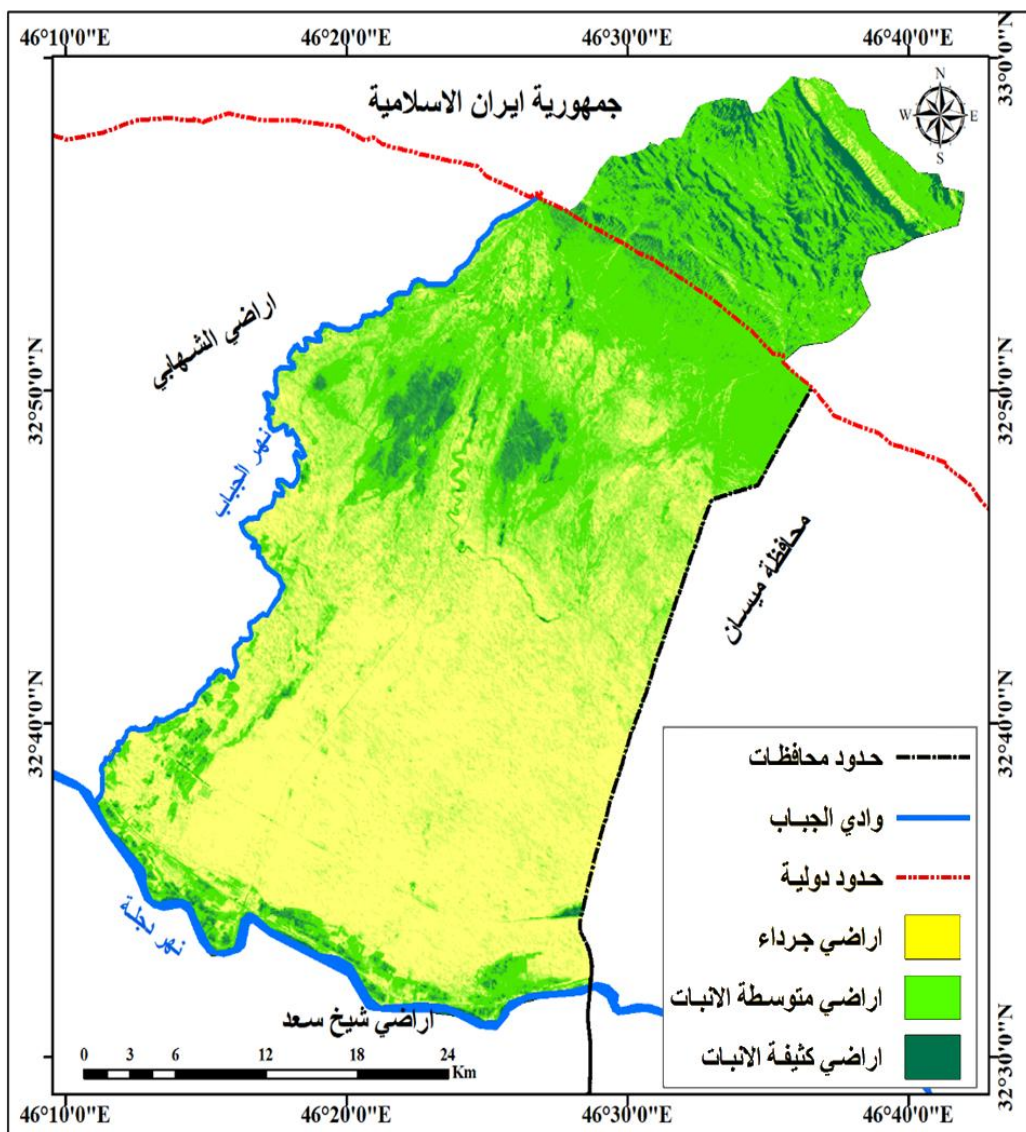
## نمذجة مؤشر حماية التربة Xa



المصدر: استناداً إلى المرئية الفضائية Landseat واستعمال معادلة مؤشر حماية التربة

## (٤) خريطة (٤)

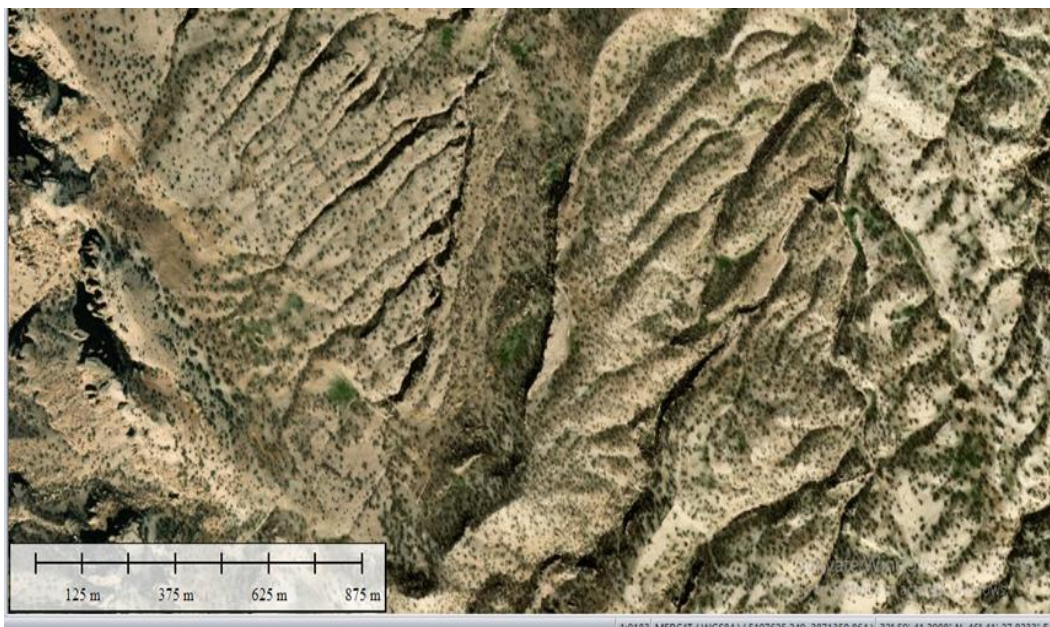
مؤشر الغطاء النباتي في منطقة الدراسة



المصدر: استناداً إلى Arc Map v 10.6 Landsat 8 بتاريخ ٢٠٢٢/١٢/١ باستعمال برنامج

المرئية الفضائية

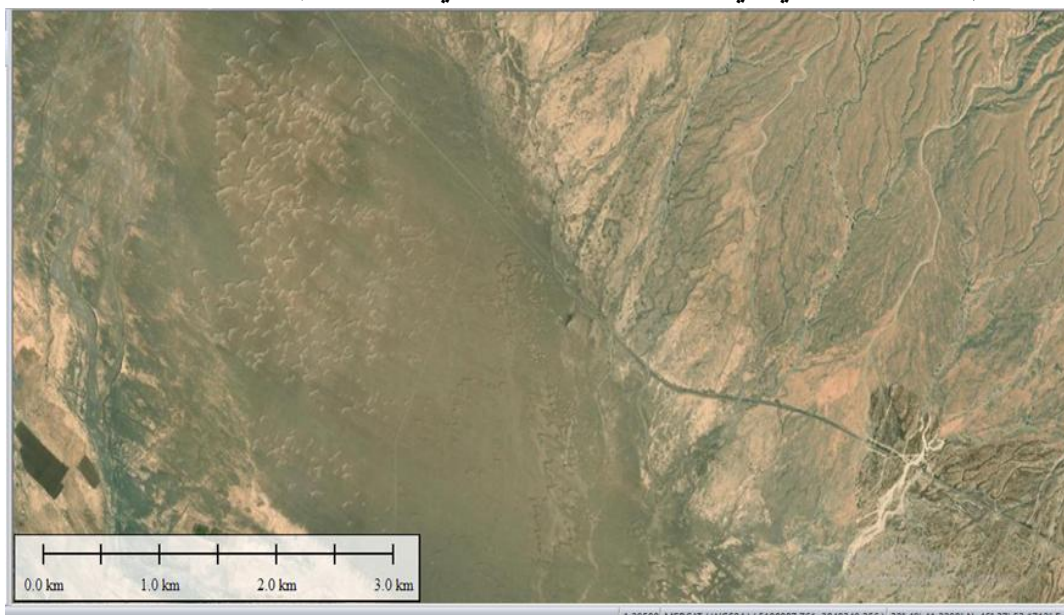
صورة (٥) كثافة النبات الطبيعي في الأجزاء الشديدة جداً في حماية التربة أقصى شمال شرق منطقة الدراسة



المصدر: استناداً إلى القمر الصناعي كويك بيرد ذات دقة تميز ٣٠ م

صورة (٦)

انعدام النبات الطبيعي في الأجزاء الضعيفة جداً في حماية التربة أغلب منطقة الدراسة



المصدر: استناداً إلى القمر الصناعي كويك بيرد ذات دقة تميز ٣٠ م

١-٣- نمذجة مؤشر التعريّة الحالية: ( $\varphi$ )

تم حساب هذا المؤشر عن طريق المعادلة التي صاغها (Mellivsky) استناداً إلى مرئية القمر الصناعي (Landsat 8)، إذ يتم عن طريق حساب الجذر التربيعي للنطاق الثالث (TM3) وتقسيمه على أعلى قيمة للإشعاع (Qmax)؛ لأن زيادة الأشعاع ترتبط بشكل مطرد بزيادة التعريّة أي كلما زادت التعريّة كان هناك المزيد من المنكشفات الصخرية وبحسب المعادلة الآتية (Stefanovic, I. Milojevic, 2006))

$$\varphi = \sqrt{\frac{TM3}{Qmax}}$$

. النطاق الثالث في

إذ إن :  $\varphi$  مؤشر حماية التعريّة الحالية: TM3

Landsat)

مرئية القمر الصناعي (: max

أعلى قيمة للإشعاع .

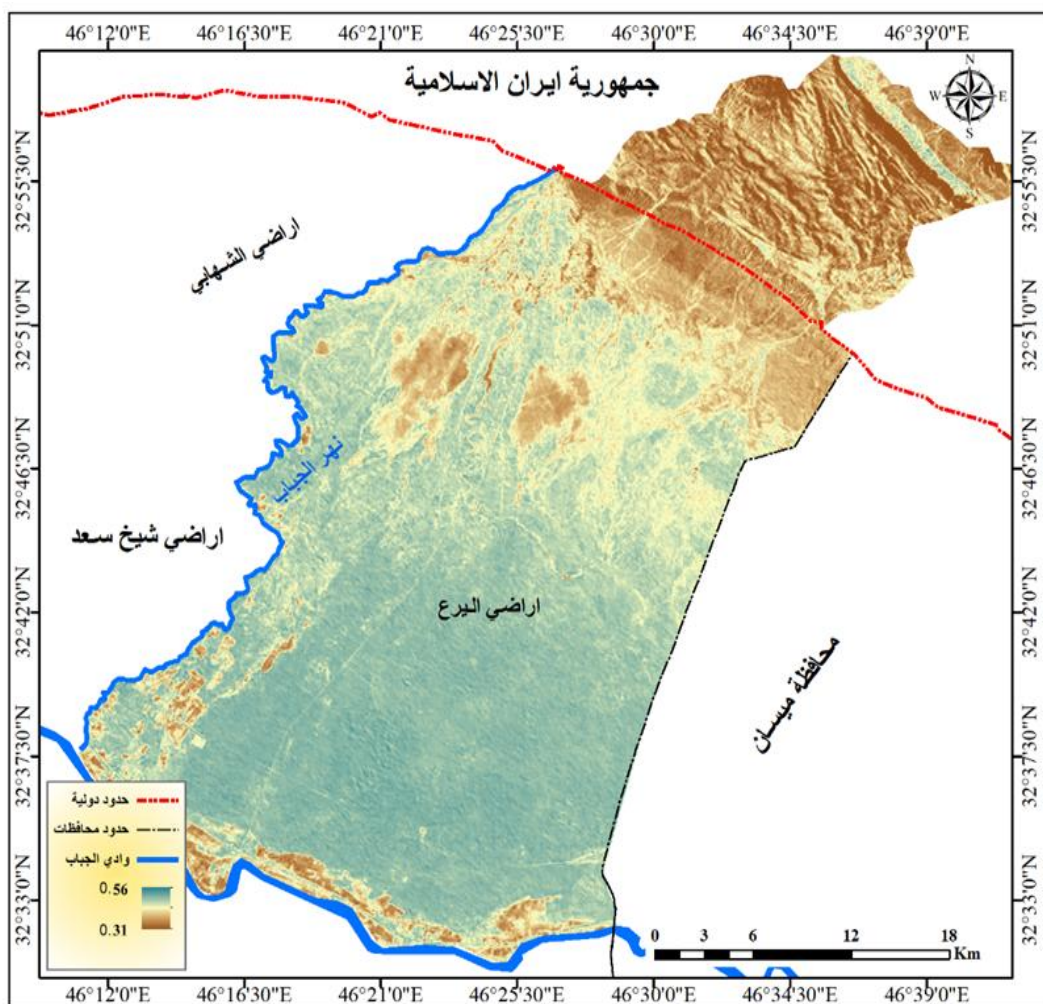
ومن تحليل نتائج المعادلة نجد هناك تبايناً في مؤشر حماية التعريّة في منطقة الدراسة، إذ سجلت أعلى قيمة (٠٠٥٦) في حين سجلت أدنى قيمة (٠٠٣١) وبحسب هذا المؤشر فإنً أودية منطقة الدراسة تقع ضمن تعريّة القنوات المائية بين (٥٠-٢٠٪) من حوض التصريف وهذا استدلال على الرواسب التي تجمعت في الأرضي المنخفضة، إذ جلبتها السيول نتيجة الأمطار الغزيرة مما ساعد على نشاط التعريّة المائية في أودية منطقة الدراسة. كما هو موضح جدول (١١) وخريطة (٤).

جدول (١٠) معامل تطور التعريّة الحالية ( $\varphi$ )

قيمة معامل $\varphi$	معامل تطور التعريّة وشبكة التصريف
<b>0.1 - 0.2</b>	تعريّة ضعيفة في حوض التصريف
<b>0.3 - 0.5</b>	تعريّة في القنوات المائية بين ٢٠ - ٥٠٪ من حوض التصريف
<b>0.6 - 0.7</b>	تعريّة في الأنهر والأخدود والإربابات الفيضية وتعريّة كارستية
<b>0.8 - 0.9</b>	٥٠ - ٨٠٪ من حوض التصريف تحت تأثير التعريّة والانزلاقات الأرضية
<b>1.0</b>	أحوض التصريف جميعها تحت تأثير التعريّة

Abdeni Elalui , et al , Soil Erosion under Future Climate Change Scenarios in a Semi-Arid Region , Science Agadir, IbnZohr University, Agadir , Morocco ,2023,p6.

#### خريطة (٤) مؤشر التعرية الحالية في منطقة الدراسة



المصدر : أستاداً إلى المرئية الفضائية Landsat 8 واستعمال معادلة مؤشر التعرية الحالية

#### ١-٤- نمذجة مؤشر الانحدار(Ja):

يهدف هذا المؤشر إلى بيان المنحدرات، إذ إن المنحدرات لها دور فاعل في التأثير على شدة التآكل، فيزداد التآكل مع زيادة حدة المنحدرات ويقل مع قلة أو انعدام المنحدرات، وقد تم استخلاص قيم هذا المؤشر عبر الاستناد إلى أنموذج الارتفاع الرقمي DEM(Elalui,2023,p6) وقد صنفت انحدارات منطقة الدراسة باعتماد تصنيف (young) إلى خمسة أصناف وهي على النحو الآتي :

١-٤-١- أرضٍ مستوية : يتضمن هذا المستوى الأرضي التي لا تتجاوز زاوية انحدارها عن (٢°)، وتنتشر على مساحة تصل إلى (٥٣٧.٥ كم<sup>٢</sup>) وبنسبة (٤٤.٩ %) من مجموع مساحة منطقة الدراسة الكلية، وتسود في الأجزاء الوسطى والغربية والجنوبية من منطقة الدراسة.

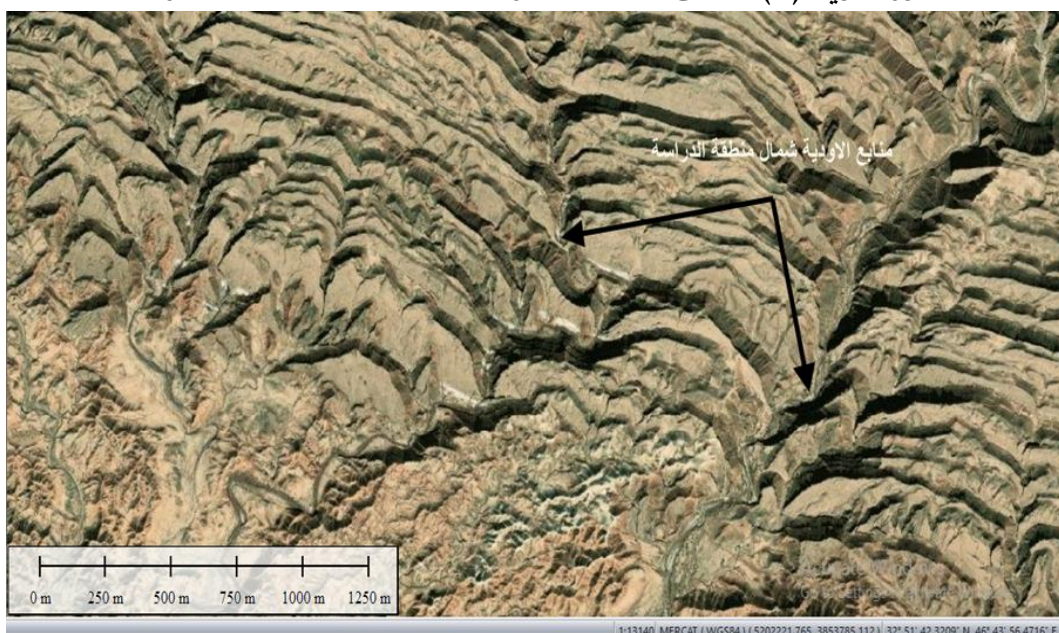
- ١-٤-٢-٤- أرضٌ خفيفة الانحدار: تعد هذه الفئة الانحدارية التي تتحصر زوايا انحدارها بين ( $10^{\circ}$ - $18^{\circ}$ ) أقل انتشاراً من الفئة التي سبقتها، إذ بلغت مساحة الأرضي التي تشغله هذه الفئة ما يقرب ( $301.7 \text{ كم}^2$ ) وبنسبة (%) ٢٥.٢ من مجموع مساحة منطقة الدراسة الكلية .
- ٤-٢-٤-٣- أرضٌ معتدلة الانحدار: تشمل الأرضي التي تتحصر زوايا انحدارها بين ( $18^{\circ}$ - $30^{\circ}$ ) وتعد أراضٌ ذات انحدارات متوسطة ،وتبلغ مساحتها ( $140.1 \text{ كم}^2$ ) وبنسبة (%) ١١.٧ من مساحة منطقة الدراسة الكلية ، وتنتشر بشكل متصل في معظم أجزاء منطقة الدراسة، وتكون محاذية للأراضي خفيفة الانحدار.
- ٤-٢-٤-٤- أرضٌ شديدة الانحدار: تشمل الأرضي التي تتراوح زوايا انحدارها بين ( $30^{\circ}$ - $45^{\circ}$ ) وهي تشغل مساحة ( $117.3 \text{ كم}^2$ ) وبنسبة (%) ٩٦.٨ من مجموع مساحة منطقة الدراسة الكلية وتمتاز بأنها ذات انحدارات شديدة وتشمل المناطق المرتفعة جميعها في منطقة الدراسة.
- ٤-٢-٤-٥- أرضٌ شديدة الانحدار جداً: تشمل الأرضي التي تتحصر زوايا انحدارها بين ( $45^{\circ}$ - $30^{\circ}$ ) وتبلغ مساحتها ( $100.6 \text{ كم}^2$ ) وبنسبة (%) ٨.٤ من مساحة منطقة الدراسة، وتمثل هذه الانحدارات في مناطق القمم الجبلية في الجانب الايراني شمال شرق منطقة الدراسة، والذي يمثل منابع الأودية، وساعدت زيادة الانحدار في هذه المناطق على زيادة نقل الرواسب نحو الأرضي المنخفضة وبطون الأودية بفعل الجاذبية الأرضية. كما هو موضح في جدول (١٢) وصورة (٧) وخريطة (٥)

جدول (١٢) أشكال تضرس الأرض وزوايا الانحدار بحسب تصنيف (Young)

النسبة المئوية	المساحة / $\text{كم}^2$	زاوية الانحدار بالدرجات	السطح	ت
44.9	537.5	$0^{\circ}-2^{\circ}$	أرضٌ مستوية	1
25.2	301.7	$5^{\circ}-10^{\circ}$	أرضٌ خفيفة الانحدار	2
11.7	140.1	$10^{\circ}-18^{\circ}$	أرضٌ معتدلة الانحدار	3
9.8	117.3	$18^{\circ}-30^{\circ}$	أرضٌ شديدة الانحدار	4
8.4	100.6	$30^{\circ}-45^{\circ}$	أرضٌ شديدة الانحدار جداً	5
			<b>100</b>	<b>1197.2</b>

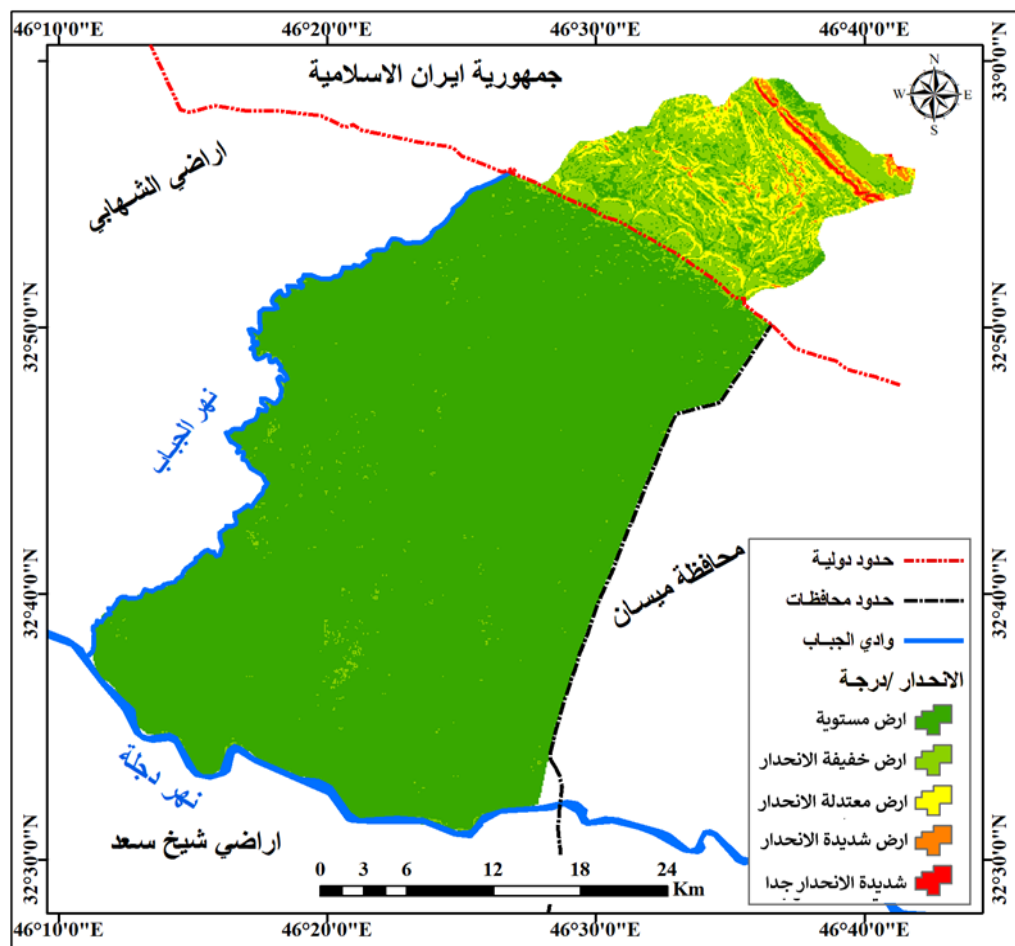
المصدر: استناداً إلى: ١- تغلب جرجيس داود ، علم أشكال سطح الأرض التطبيقي ( الجيومورفولوجيا التطبيقية ) ، الدار الجامعية للطباعة والنشر والترجمة / فرع البصرة ، ٢٠٠٢ ، ص ١٢٣-١٢٤ .  
٢- خريطة (٩) .

صورة جوية (٧) مناطق ذات الانحدار الشديد جداً شمال منطقة الدراسة



المصدر: استناداً إلى القمر الصناعي كويك بيرد ذات دقة تميز ٣٠ م

خرائطة (٥) نمذجة درجات الانحدار بحسب نموذج young



المصدر: استناداً إلى نموذج الارتفاع الرقمي ذات دقة ٣٠ م

## ١-٥- نمذجة استخلاص قيمة التعرية المحتملة:

يعبر عن المؤشر ( $Z$ ) عن التعرية المحتملة، ويُعد أهم مؤشر في أنموذج جافريوفيكي، وتدخل في حسابه مجموعة من المتغيرات تم حسابها مسبقاً وله فوائد عدّة منها: تتبع التغييرات في مستويات التعرية مع مرور الزمن لاختبار تأثير مستوى استعمال أنشطة الأرض واستعمالاتها وتغييرها، وقد صفت مستويات التعرية وفقاً لمؤشر أنموذج جافريوفيكي ( $Z$ ) إلى خمسة مستويات ، كما هو موضح جدول (١٣) ويتم حسابه من المعادلة الآتية(كاظم، ص ٥٣):

$$Z = Y * X_a * (\phi + \sqrt{J_a})$$

إذ إن:

. معامل حماية التربة.

**Xa** : معامل قابلية التربة للتعرية

.  $\phi$  = معامل تطور التعرية وشبكة التصريف .

جدول (١٣) فئات مستويات التعرية المحتملة تبعاً لقيمة معامل ( $Z$ )

مستوى التعرية المحتملة	متوسط القيمة	قيمة معامل ( $Z$ )
خفيفة جداً	<b>0.10</b>	<b>0.19 - 0.01</b>
خفيفة	<b>0.30</b>	<b>0.40 - 0.20</b>
متوسطة	<b>0.55</b>	<b>0.80 - 0.41</b>
شديدة	<b>0.85</b>	<b>1.0 - 0.81</b>
شديدة جداً	<b>1.25</b>	<b>1.51&gt; - 10.1</b>

GAVRILOVIC, Z. STEFANOVIC M. MILOJEVIC M. AND COTRIC J.(2006) Erosion Potential Method Conference of the Danubian Countries on the Hydrological Forecasting and Hydrological Bases of Water Management, Bled, Sloveni.

ومن تحليل نتائج المعادلة ومقارنتها بجدول (١٢) تبيّنت التعرية المحتملة في منطقة الدراسة من حيث النوع والمساحة ،فقد سجلت التعرية الشديدة أعلى مساحة، إذ بلغت (٥٢٩.٢ كم<sup>2</sup>) وبنسبة (%)٤٤.٢ من مجموع مساحة المنطقة الكلية ، تليها التعرية المتوسطة بمساحة (٣٦٠.٤ كم<sup>2</sup>) وبنسبة (%)٣٠.١ ، وتليها التعرية الخفيفة بالمرتبة الثالثة بمساحة بلغت (١٢٦.٩ كم<sup>2</sup>) وبنسبة (%)١٠٠.٦ ، في حين سجلت التعرية الخفيفة جداً مساحة (١٠٠.٦ كم<sup>2</sup>) وبنسبة (%)٨٠.٤ ، وجاءت بالمرتبة الأخيرة التعرية الشديدة جداً بمساحة بلغت (٨٠.٢ كم<sup>2</sup>) وبنسبة (%)٦.٧ ، وبذلك فإن أكثر من (%)٨١ من مساحة منطقة الدراسة تقع ضمن نطاق التعرية المتوسطة والشديدة والشديدة جداً ، وهذا يتفق مع الانحدارات المتوسطة والقوية الخالية من الغطاء النباتي، ويؤدي الانحدار دوراً مهماً؛ لأنـه

يحدد سmak التربية؛ لذا فإن ترب المنحدرات تكون ضحالة نتيجة نشاط عملية التعرية المائية وانعدام الغطاء النباتي على عكس المناطق المستوية في منطقة الدراسة تتصف بسمكها وتتطورها بشكل مستمر نتيجة تجمع الرواسب التي تجلبها السيول مما أصبحت مناطق تجمع الأرضي أراضي زراعية متنوعة المحاصيل. كما هو موضح في جدول (١٤) وشكل (٦) وخريطة (٦)

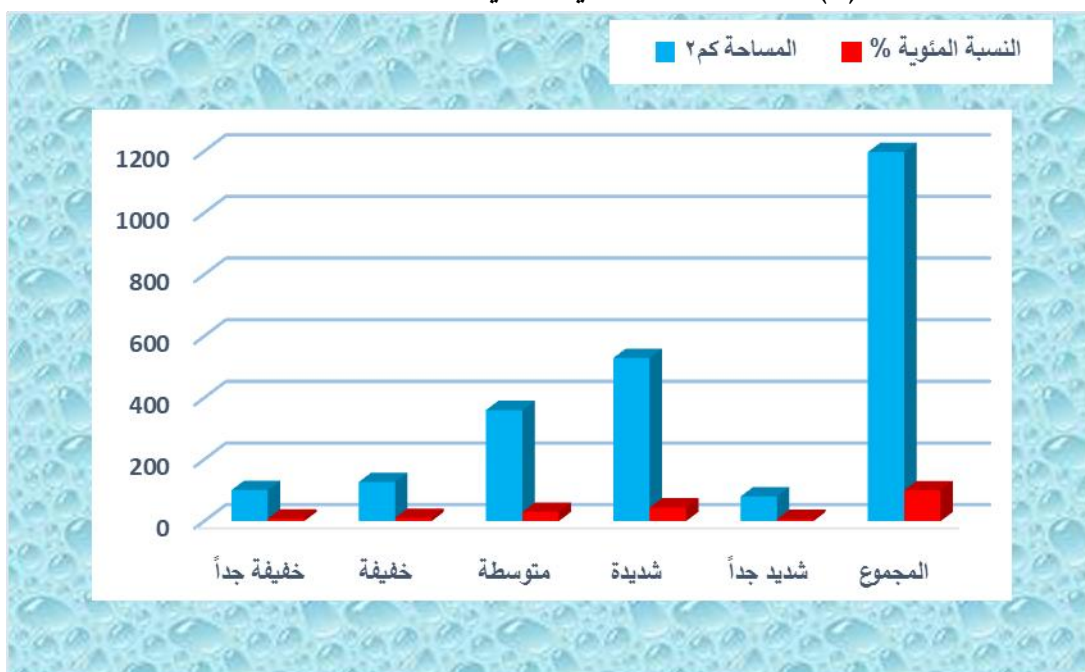
جدول (١٤)

أصناف معامل التعرية المحتملة ( $Z$ ) ومساحاتها ونسبها المئوية في منطقة الدراسة

معامل التعرية المحتملة	المساحة كم <sup>٢</sup>	النسبة المئوية %
خفيفة جداً	100.6	8.4
خفيفة	126.9	10.6
متوسطة	360.4	30.1
شديدة	529.2	44.2
شديد جداً	80.2	6.7
المجموع	1197.2	100

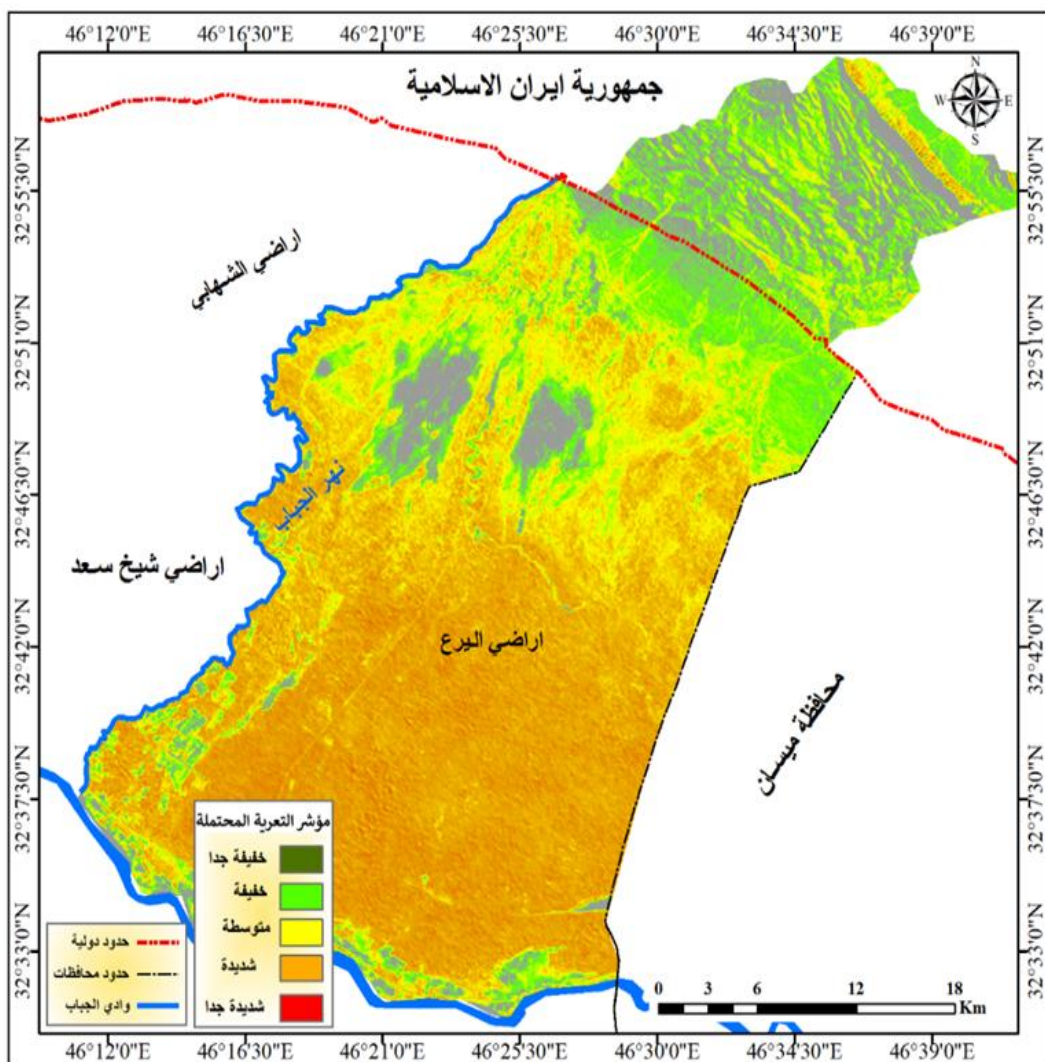
المصدر : استناداً إلى خريطة (٩).

شكل (٦) مساحة ونسبة المئوية للتعرية الحالية لمنطقة الدراسة



المصدر : استناداً إلى جدول (١٤) وبرنامج الأكسل

## (٦) خريطة

مستويات التعرية المحتملة  $Z$  في منطقة الدراسة

المصدر: استناداً إلى المرئية الفضائية LANDSEAT ٨ واستعمال معادلة التعرية المحتملة  $Z$

٢- التقييم الكمي للتعرية المائية بنموذج جافريوفيكي:

٢-١- نمذجة مؤشر معامل الحرارة  $T$ :

اعتمد جافريوفيكي الحرارة كعامل من عوامل التعرية في هذا النموذج، إذ إن لها تأثيراً واضحاً على إنتاجية المياه في التربة فالحرارة الشديدة تزيد من شدة التبخر، مما يؤدي إلى ظهور شبكة كثيفة من التشققات الصلبة التي تؤدي إلى انهيار الطبقات الطينية، في حين تؤدي التقلبات الحرارية المستمرة إلى انهيار المكونات الصخرية ويتم تحديد قيمة المعامل الحراري بمعادلة خاصة، تأخذ متوسط درجة الحرارة السنوي كمتغيره أساسية ويحسب هذا المؤشر من المعادلة الآتية (GAVRILOVIC, 2006, p77):

$$T = \sqrt{\frac{C}{10}} + 0.1$$

إذ إن :

**T** : مؤشر معامل الحرارة .  
ونظراً لعدم توافر معطيات مناخية دقيقة تتعلق بدرجات الحرارة بمحطات الرصد فقد تم اعتماد المرئيات الفضائية العائدة للقمر الصناعي (Landsat 8) لتحديد هذا المؤشر ولحساب درجة الحرارة نقوم بالمراحل الآتية:

\* المرحلة الأولى: نقوم بهذه المرحلة بتحويل قيم البكسل إلى قيم الإشعاع بإعادة إسقاط البيانات باستعمال طريقة التحويل الخطى العكسية عن طريق معادلة التحويل الآتية:

$$\frac{L_{min\ Radiance} - L_{max}}{(QcaL_{max} - QcaL_{min}) * (DN - QcaL_{max}) + L_{min}}$$

إذ إن:

$L_{max}$  : أقصى قيمة للإشعاع  $L_{min}$  : أدنى قيمة للإشعاع

$QcaL_{min}$  : أدنى قيمة يأخذها البكسل  $QcaL_{max}$  : أعلى قيمة يأخذها البكسل .

$DN$ : قيمة البكسل

\* المرحلة الثانية : نقوم بهذه المرحلة بالتحويل من الإشعاع Radiance إلى درجة الحرارة الكلفينية ، وذلك باعتماد المعادلة الآتية(حسن، ٢٠١٤، ص ١٤):

$$T = \frac{K_2}{tn(Radiance+1)^{\frac{K_2}{K_1}}}$$

إذ إن القيمتين  $K_1$  و  $K_2$  ثوابت تتغير بتغيير القمر الصناعي، إذ تصل القيم للقمر الصناعي لأندستات ذات المتحسس (TM-5) إلى  $K_1 = 1407.76$  و  $K_2 = 260.56$  أما بالنسبة للمتحسس (OLI) فتصل إلى  $1321,0789$  و  $774,8853$  على التوالي .

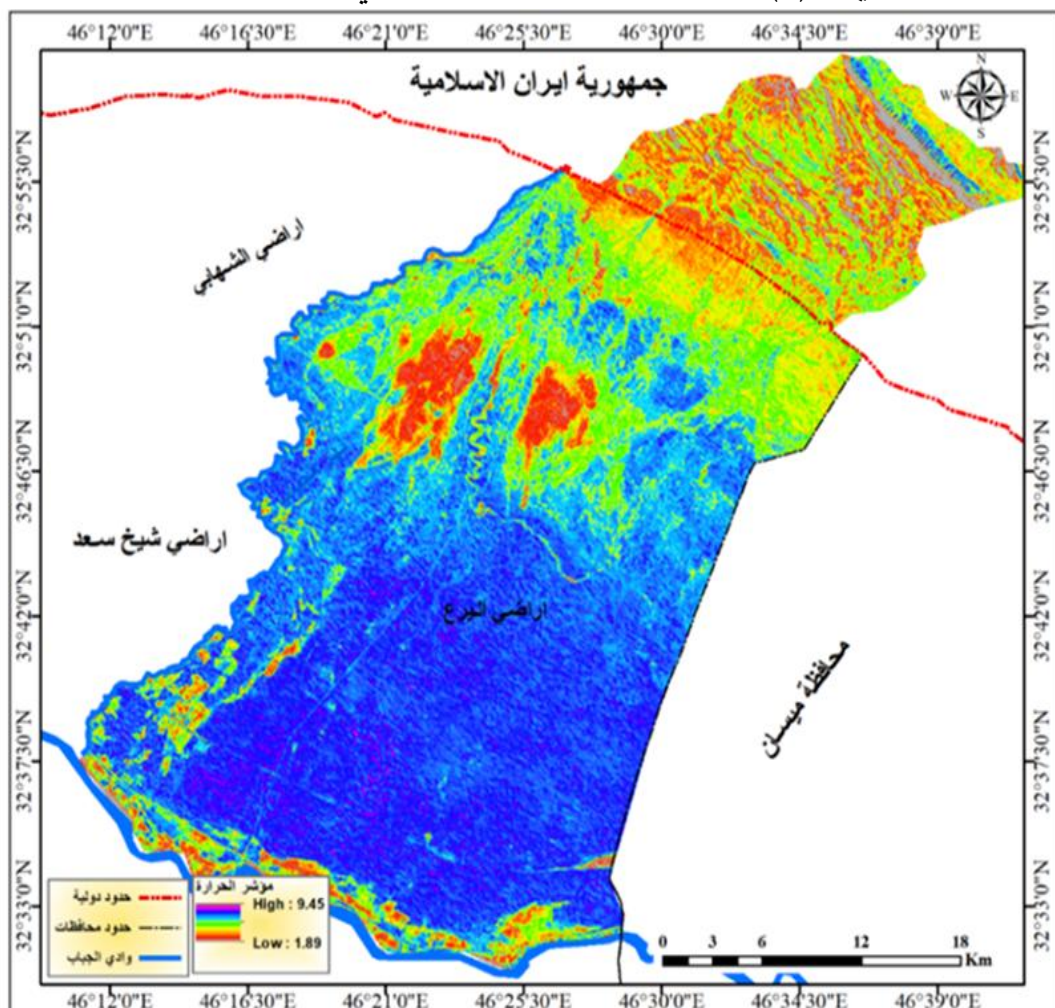
\* المرحلة الثالثة : أما في هذه المرحلة فيتم تحويل درجات الحرارة من الكلفن إلى المئوي عن طريق طرح القيمة  $273.15$  من القيمة الناتجة عن المعادلة في أعلاه .

ومن تحليل نتائج المعادلة في أعلاه تبين هناك تباين في قيم مؤشر معامل الحرارة في منطقة الدراسة، إذ سجلت أعلى قيمة بلغت (٩٠٤٥)، في حين سجلت أدنى قيمة بلغت (١٠٨٩)، ونستدل من هذا التباين هناك اتساع في المدى الحراري بين الليل والنهار، والفصلي بين الصيف والشتاء مما يؤدي إلى تمدد وتقلص معادن الصخور وباستمرار هذه العملية تتسع الشقوق الصخرية ولاسيما في الأجزاء العليا من منطقة الدراسة فتتفاكم جزيئات الصخور مما يسهل جرفها وترسيبها بفعل السيول كما هو موضح في خريطة (٧)

### ١- ٢-٢- نمذجة مؤشر معامل الهطول المطري (H) :

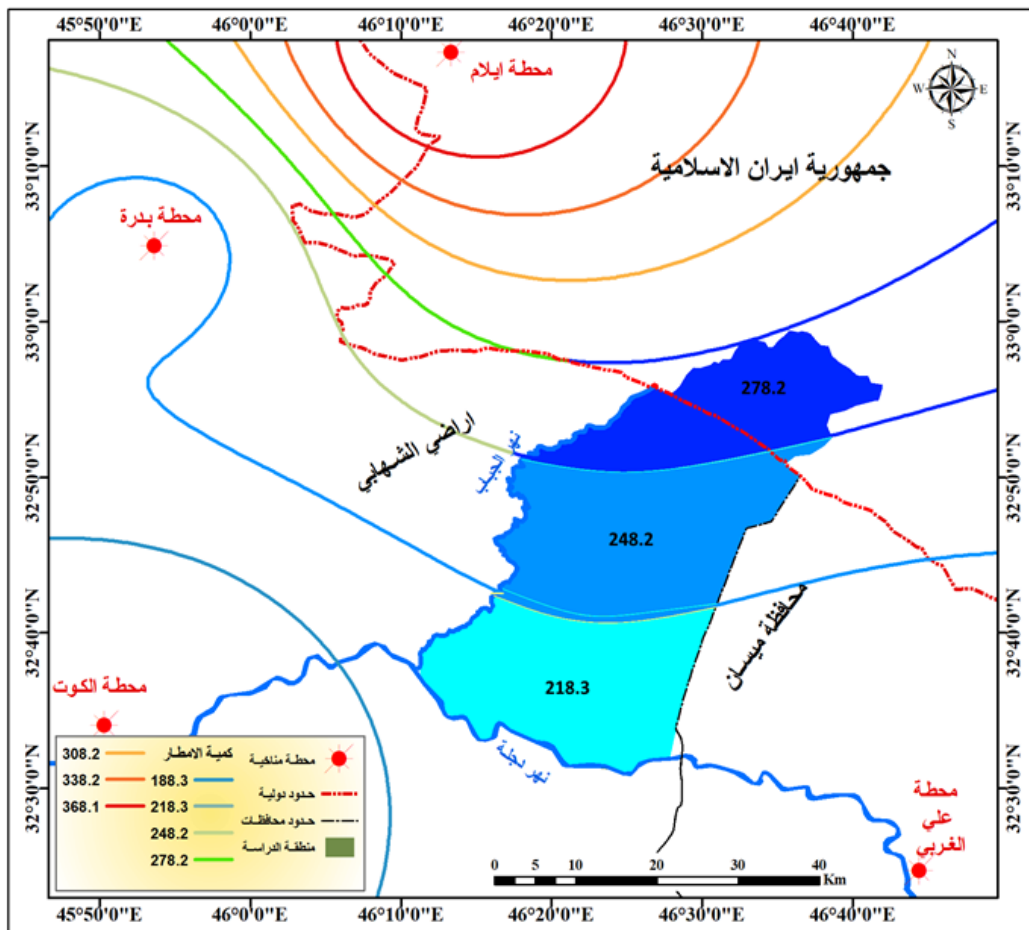
تعمل قطرات المطر نشاطاً حتى يؤدي إلى تكثيف حبيبات التربة وانتزاعها من على السطح وتعتمد التعرية بفعل الأمطار بصورة رئيسة خصائص الأمطار، والتي تمثل بمعدل، كمية الأمطار الهاطلة، وحجم، وسرعة القطرات المائية، فضلاً عن دور السطح والتربة في التأثير الكبير على هذه التعرية بفعل الهطول، وتنشط عند هطول الأمطار على شكل زخات مطوية شديدة فينتج عنها تقسيم حبيبات التربة المتمسكة ونتيجة لتكون جريان سطحي تنقلها أسفل المنحدرات بفعل قوة الجاذبية الأرضية. يتضح من خريطة (٨) تباين الهطول المطري في منطقة الدراسة، إذ سجلت أعلى القيم في القسم الشمالي الشرقي من المنطقة بلغت (٢٧٨.٢ ملم) في حين سجلت أدنى القيم في القسم الجنوبي بلغت (٢١٨.٣ ملم)، ويعود هذا التباين في كمية الأمطار إلى العامل الطوبغرافي المتمثل بالارتفاعات، وساعد تكرار العواصف المطوية الفجائية على زيادة حجم الرواسب.

خريطه (٧) نمذجة مؤشر معامل الحرارة T في منطقة الدراسة



المصدر : باعتماد المرئية الفضائية LANDSEAT ٨ واستعمال مؤشر معامل الحرارة

### خريطة (٨) مؤشر الهطول المطري في منطقة الدراسة



المصدر : باعتماد المرئية الفضائية LANDSEAT ٨ وجدول (٢-١٠)

١-٣- نمذجة حساب حجم الرسوبيات (التعريمة المقدرة) عن طريق نموذج جافريلوفيك:

يرى مجموعة من العلماء والباحثين ومنهم (Milevski) أن معدلات التعريمة تكون ضعيفة إذا كانت من دون  $500 \text{ mm}^3/\text{km}^2\text{/ السنة}$ ، وتكون عالية في حال تجاوزها  $800 \text{ mm}^3/\text{ السنة}$ . وقد حدد زخار في عام ١٩٨٢ ستة أصناف من التعريمة المائية بحسب كمية التربة المفقودة والتي تبدأ بتعريمة غير ظاهرية إذا كان حجم التعريمة أقل من  $500 \text{ mm}^3/\text{ السنة}$  وتنتهي كارثية إذا كان حجم التعريمة أكثر من  $2000 \text{ mm}^3/\text{ km}^2\text{/ السنة}$  كما هو موضح في جدول (١٥)

$$( W = T * H * \pi * \sqrt{Z^3} )$$

إذ إن :

W: التعريمة المقدرة السنوية ( $\text{m}^3/\text{km}^2\text{/ السنة}$ ) T: مؤشر معامل الحرارة

$\pi$ : نسبة ثابتة

H: مؤشر معامل الهطول المطري

Z: التعريمة المحتملة

ومن تحليل نتائج المعادلة ومقارنتها بجدول (١٤) اتضح هناك تباين في توزيع حجم الرسوبيات في منطقة الدراسة وتم تصنيفها إلى ثلاث فئات على النحو الآتي:

\*الفئة الأولى التعرية المتوسطة: تحتل أجزاء متفرقة من المنطقة الشمالية والشرقية الوسطى بلغ حجم الرسوبيات فيها بين ( $١٥٠٠ - ٥٠٠$  م $^3$ /كم $^2$ /السنة)، إذ شغلت مساحة ( $١٢٢.١$  كم $^2$ ) أي: بنسبة (١٠٠.٢%) من المساحة الكلية لمنطقة الدراسة تمثلت بمنابع الأودية النهرية التي تتميز بقلة أو انعدام النبات الطبيعي، وزيادة الانحدار مما يساعد على سرعة الجريان المائي فتشتت عملية التعرية المائية جارفة معها الرواسب.

\*الفئة الثانية التعرية الشديدة: تحتل معظم أجزاء المنطقة الشمالية والشرقية وأجزاء متفرقة من المنطقة الوسطى والجنوبية. بلغ حجم الرسوبيات فيها بين ( $١٥٠٠ - ٢٠٠٠$  م $^3$ /كم $^2$ /السنة)، إذ شغلت مساحة ( $٤٢٩.٨$  كم $^2$ ) أي بنسبة (٣٥.٩%) من المساحة الكلية لمنطقة الدراسة تمثلت بالمنطقة القريبة من نهر دجلة وسفوح الأودية النهرية التي تتصف بهطول الأمطار الغزيرة ذات التكوينات الصخرية الهشة مما يؤدي إلى حدوث سيل جارفة تختلف أحجامها بحسب شدة العاصفة المطرية مما تساعد على نشاط التعرية المائية التي تقوم بجرف كميات كبيرة من الرواسب لترسيبها في منطقة الدراسة.

\*الفئة الثالثة التعرية الشديدة جداً: تحتل معظم منطقة الدراسة بلغ حجم الرسوبيات فيها بين ( $٢٠٠٠ - ٥٠٠٠$  م $^3$ /كم $^2$ /السنة)، إذ شغلت مساحة ( $٦٤٥.٣$  كم $^2$ ) أي: بنسبة (٥٣.٩%) من المساحة الكلية لمنطقة الدراسة؛ لذا نستدل مما سبق أن التعرية الشديدة جداً تحتل المرتبة الأولى من حيث المساحة في منطقة الدراسة فأصبحت مناطق لجمع الرواسب وفي الوقت نفسه تتعرض هذه المناطق إلى تكرار السيول الجارفة التي تعتمد مقدار المياه وسرعتها وحجم الرواسب فتكون مناطق متعددة بالخصوصية نتيجة ما يتربّس عليها من إرسابات في مواسم الفيضانات؛ ولذلك تتعرض المناطق الزراعية المنتشرة في الدالات المروحيّة إلى خطر السيول ثم تليها بالمرتبة الثانية التعرية الشديدة، وفي المرتبة الثالثة التعرية المتوسطة. كما هو موضح في جدول (١٦) وشكل (٧) وخريطة (٩)

## جدول (١٥) أصناف التعرية بحسب زاخار لحساب الترب المفقودة

الفئة	حجم التعرية $\text{م}^3/\text{كم}^2 \text{ السنة}$	شدة التعرية
1	اقل من ٥٠	تعرية غير ظاهرة
2	<b>50 - 500</b>	تعرية ضعيفة
3	<b>500 - 1500</b>	تعرية متوسطة
4	<b>1500 - 5000</b>	تعرية شديدة
5	<b>5000 - 20000</b>	تعرية شديدة جداً
6	أكثر من ٢٠٠٠	تعرية كارثية

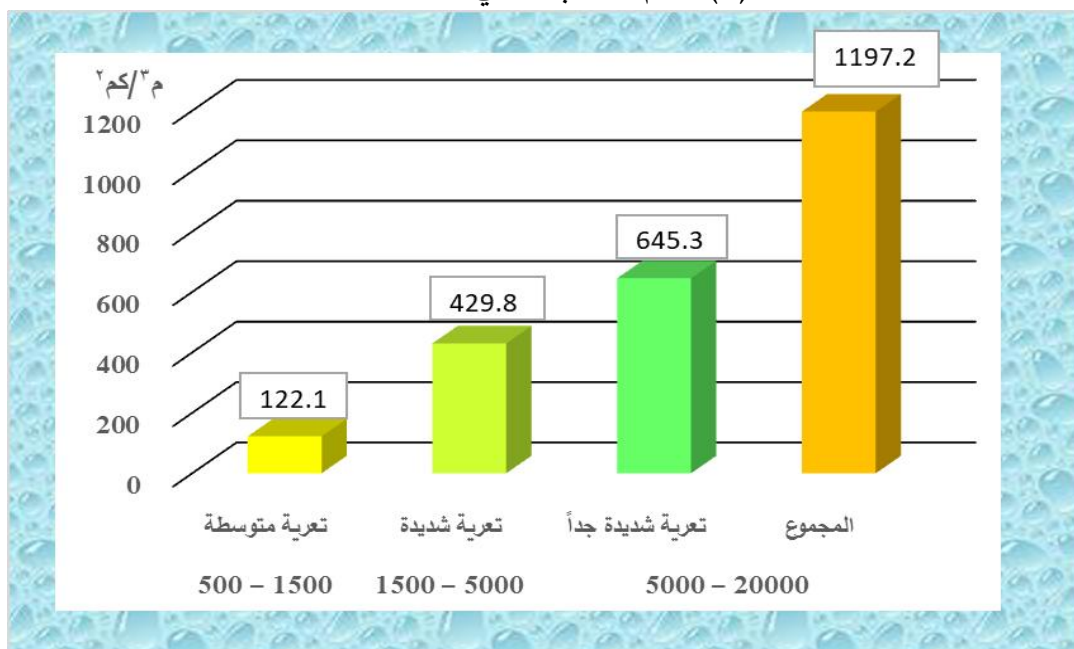
Zachar. D. Soil Erosion Amsterdam: Elsevier science publishing company, 1982, p547

## جدول (١٦) أنواع التعرية السائدة ومساحاتها ونسبها المئوية في منطقة الدراسة

الفئة	حجم التعرية $\text{م}^3/\text{كم}^2 \text{ السنة}$	نوع التعرية	المساحة ( $\text{كم}^2$ )	النسبة المئوية
1	<b>500 - 1500</b>	تعرية متوسطة	<b>122.1</b>	<b>10.2</b>
2	<b>1500 - 5000</b>	تعرية شديدة	<b>429.8</b>	<b>35.9</b>
3	<b>5000 - 20000</b>	تعرية شديدة جداً	<b>645.3</b>	<b>53.9</b>
المجموع			<b>1197.2</b>	<b>100</b>

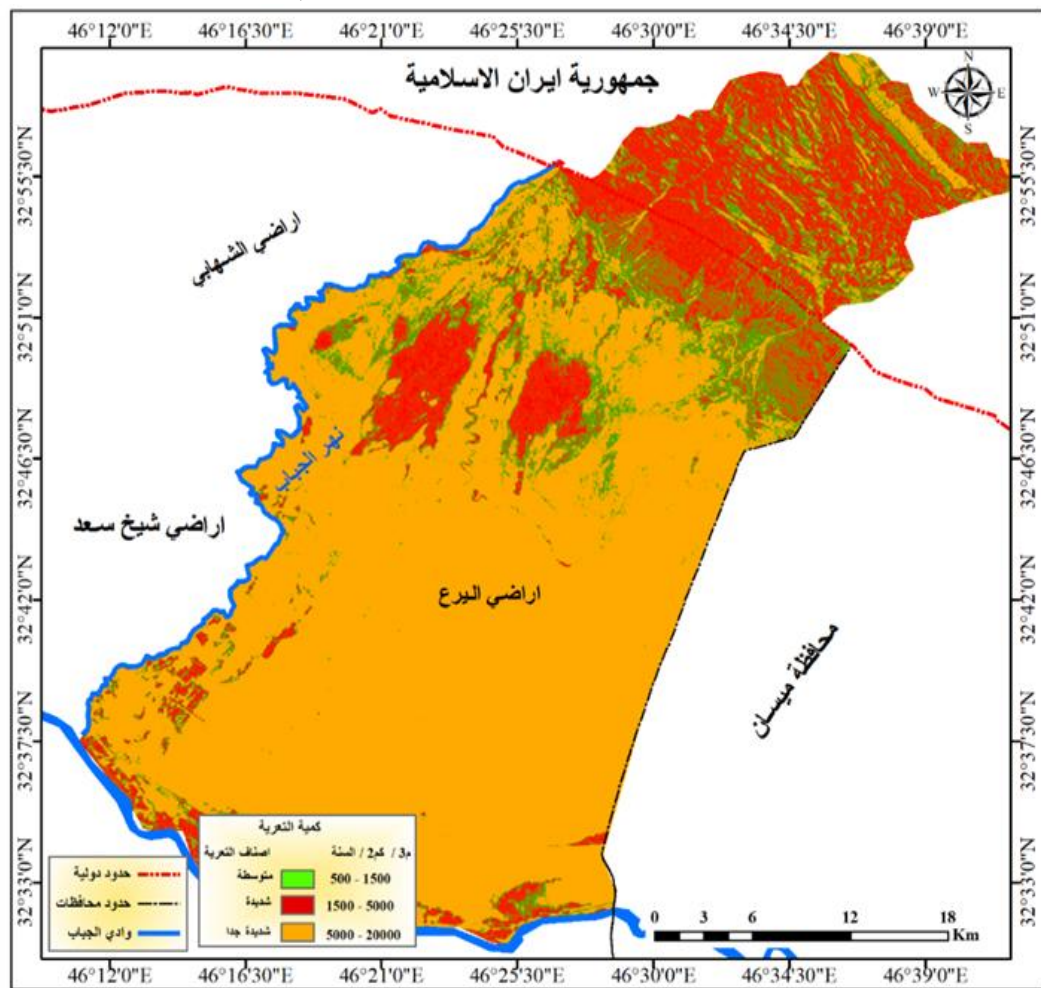
المصدر : باعتماد خريطة (٤-١١)

## شكل (٧) حجم الرسوبيات في منطقة الدراسة



المصدر : باعتماد جدول (١٦) وبرنامج الأكسل

### خرطة (٩) نمذجة حجم الرسوبيات (التعرية المقدرة) في منطقة الدراسة



المصدر : باعتماد المرئية الفضائية LANDSEAT واستعمال معادلة جافريوفيكي

**الاستنتاج:**

- ١ - تؤدي التعرية المائية دوراً مهماً في نقل الرواسب؛ لأنها تعمل على إزالة أجزاء من الطبقة العليا للترابة عن طريق الأمطار الهاطلة والجريان السطحي بقوة لتنقلها من سفوح الجبال وترسبها في بطون الأودية والأراضي المنخفضة.
- ٢ - ولحساب حجم الرسوبيات فقد تم اعتماد عملية التعرية المائية استناداً إلى المدة المناخية (١٩٩٤-٢٠٢٢)، إذ بلغت التعرية التصادمية بحسب مؤشر فورنيه لمحطة إيلام (٥٥.٨٦)، تقع ضمن التعرية المطرية المعتدلة، وتعد من الأماكن التي تنشط بها هذا النوع من التعرية مما يساعد على نشاط عملية النحت نتيجة ارتفاع كمية الأمطار ودرجة انحدار الأودية مما ينتج عنها سیول قوية ذات حمولة كبيرة من الرواسب لتنقلها وترسيبها في الأراضي المنخفضة في حين سجلت محطات كل من: الكوت، وبدرة، وعلى الغربي ضمن

التعرية المطرية الضعيفة، إذ بلغت (٢٨.٢٤ - ٣٠.٤٤ - ١٨.٤٩) على التوالي، ويعود سبب ذلك لانبساط المنطقة، وقلة الأمطار.

٣- هناك تباين في مؤشر حماية التعرية في منطقة الدراسة ، إذ سجلت أعلى قيمة (٠٠.٥٦) في حين سجلت أدنى قيمة (٠٠.٣١) وبحسب هذا المؤشر فإن أولية منطقة الدراسة تقع ضمن تعرية القنوات المائية بين (٢٠ - ٥٠%) من حوض التصريف وهذا استدلال على الرواسب التي تجمعت في الأراضي المنخفضة، إذ جلبتها السيول نتيجة الأمطار الغزيرة مما ساعد على نشاط التعرية المائية في أولية منطقة الدراسة.

٤- أحتلت التعرية الشديدة جداً المرتبة الأولى من حيث المساحة، إذ بلغت ما يقرب (٦٤٥.٣ $\text{كم}^2$ ) في منطقة الدراسة فأصبحت مناطق لجتماع الرواسب وفي الوقت نفسه تتعرض هذه المناطق إلى تكرار السيول الجارفة التي تعتمد مقدار المياه، وسرعتها، وحجم الرواسب فتكون مناطق متعددة بالخصوصية نتيجة ما يتربّس عليها من إربابات في مواسم الفيضانات؛ ولذلك تتعرض المناطق الزراعية المنتشرة في الدالات المروحية إلى خطر السيول ثم تليها بالمرتبة الثانية التعرية الشديدة، إذ بلغت ما يقرب (٤٢٩.٨ $\text{كم}^2$ ) وفي المرتبة الثالثة التعرية المتوسطة، إذ بلغت ما يقرب (٢٢٠.١ $\text{كم}^2$ )

#### الوصيات:

- ١- استثمار المنطقة للأغراض السياحية لما تتمتع فيها المنطقة من مقومات السياحة من أولية وتلال وdalat mroohiyah.
- ٢- استثمار المنطقة في إنشاء عدد من مقالع الحصى والرمل لتوفّر المادة الأولية من الرسوبيات (الحصى والرمل وبعض المواد الأخرى)
- ٣- استثمار المنطقة من الناحية الصناعية مثل: إنشاء معامل الطابوق.

**المصادر:**

حسن، إبتهال نقي، (٢٠١٤)، استخدام الأدلة لكشف التغيرات في غطاء الأرض لمناطق مختارة من محافظة النجف للحقبة بين (٢٠٠١-٢٠٠٦) باستخدام بيانات الاستشعار عن بعد، مجلة الكوفة للفيزياء، المجلد (٦)، العدد (٢).

شعون، جمال، وأخرون، (٢٠١٣)، توظيف الاستشعار عن بعد ونظم المعلومات الجغرافية في التقييم الكمي للتعرية المائية في حوض واد أمزاز (الريف الأوسط) من خلال نموذج جافريوفيكي، مجلة جغرافية المغرب، عدد خاص بأعمال المؤتمر الثالث للجغرافيين المغاربة، مجلد (٢٨) العدد (١ - ٢).

الغامدي، سعد أبو راس، (٢٠٠٩)، تطبيق نموذج جافريوفيكي لتقدير مخاطر التعرية المائية في حوض وادي نعمان بوسائل تقنيات الاستشعار عن بعد ونظم المعلومات الجغرافية، قسم الجغرافيا، جامعة أم القرى، ص.ب. ٣٣٠٦، المجلد ١، العدد ١.

كاظم، محمد احمد، (٢٠١٧) تصنیف بعض ترب منطقة شط العرب في محافظة البصرة وتقييم ملائمة الأراضي للأغراض الزراعية بالاستعانة بتقانات الاستشعار عن بعد، أطروحة دكتوراه (غير منشورة ) كلية الزراعة ، جامعة البصرة.

Amer Zeghmar", Nadir Marouf", Elhadj Mokhtari , ,(2021)Assessment of soil erosion using the GIS-based erosion potential method in the Kebir Rhumel Watershed, Northeast Algeria , JOURNAL OF WATER AND LAND DEVELOPMENT.

Abdeni Elalui , et al ,(2023). Soil Erosion under Future Climate Change Scenarios in a Semi-Arid Region , Science Agadir, IbnZohr University, Agadir , Morocco.

Eelko.Bergsma,1983,Rain FallErosion,Servers for Conservition Planning,Itc,Nether Journal,VOI-2.

Fournier,F.1960, Climate Erosion, Ia reiation ekter Ie resion du sol parieau et Iesperception, atmosperges,Pairs.

Gavrilovec Z. Stefanovic M. Milojivc M. and Cortic J. (2006)Erosion Potential Method Conference of the Danubian Countries on the Hydrological Forecasting and Hydrological Bases of Water Management, Bled, Sloveni.

Zachar. D.(1982) Soil Erosion Amsterdam: Elsevier science publishing company.

Zoren,M and Komac,B,(2005),Soil erosion on agricultural land in Slovenia merasurments of rill erosion in the besnica valley.Acta geographic slovenica 45-1,Ljubljana.